

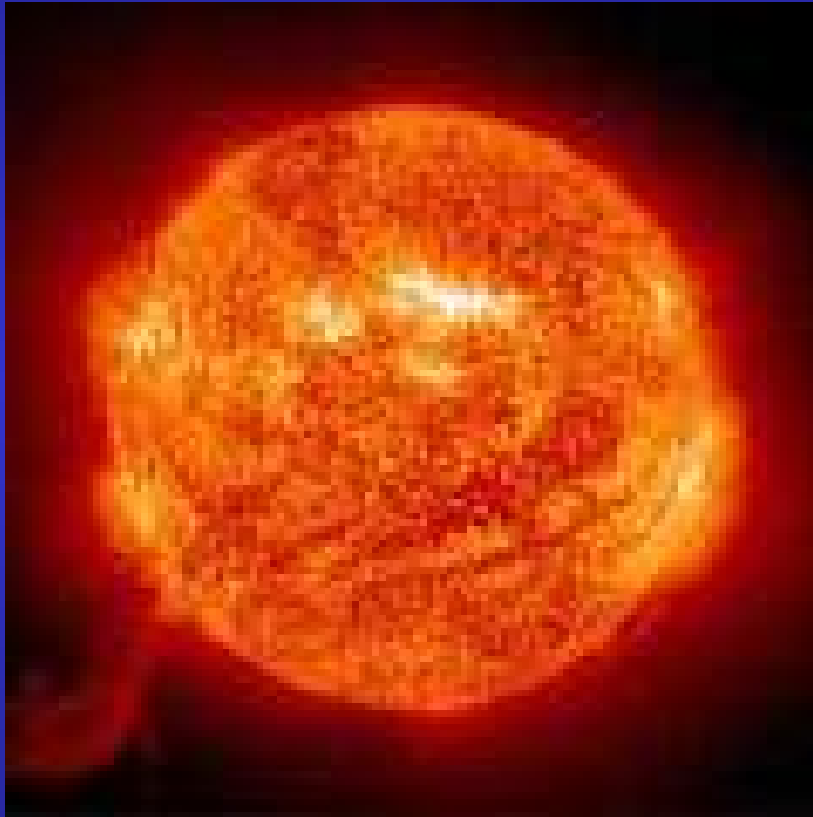
# ASTROFÍSICA EN EL LABORATORIO

Andrés Arazi

Laboratorio TANDAR  
Comisión Nacional de Energía Atómica

Noviembre 2008

# Energía del Sol y las estrellas



El Sol.

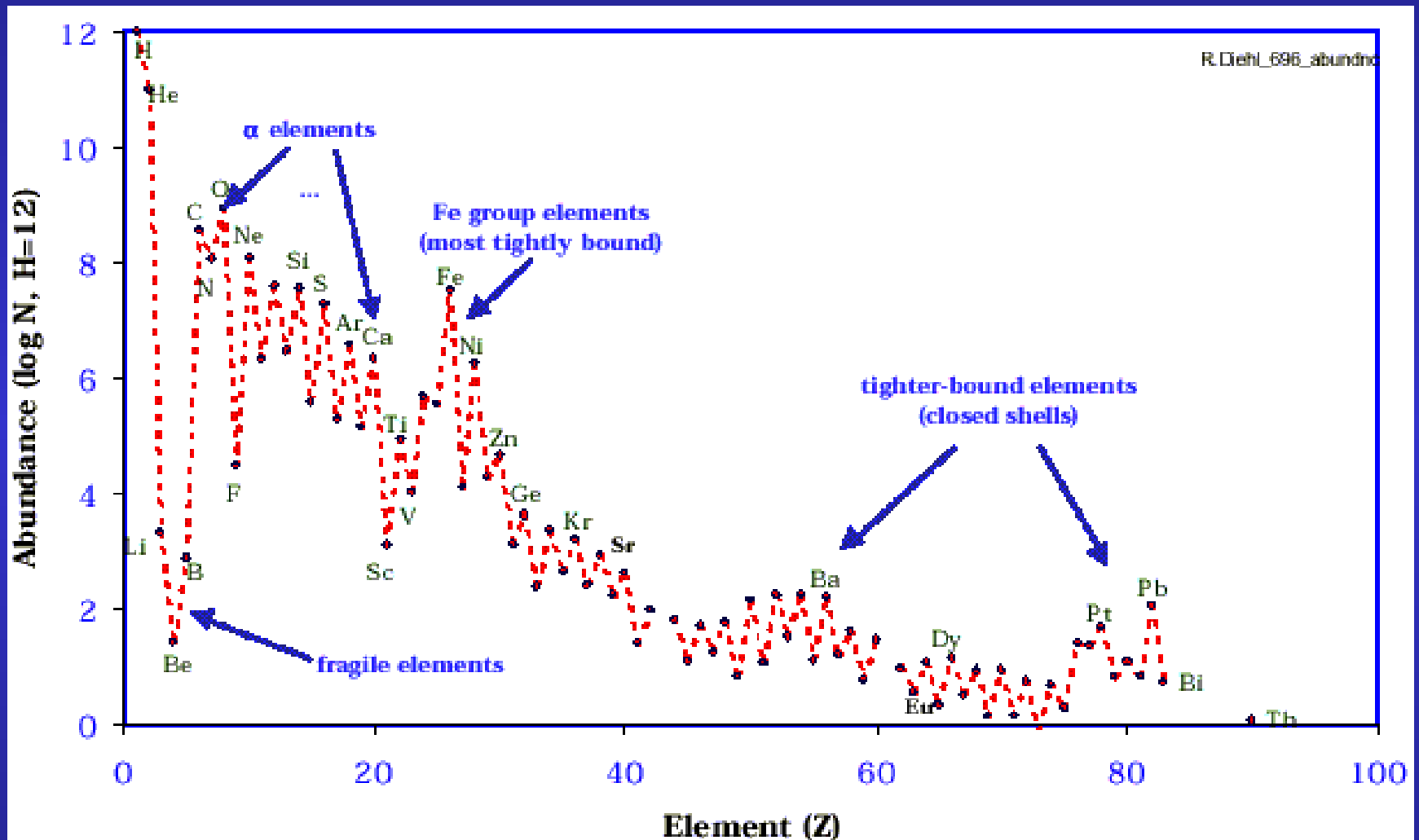
$$M_{\odot} = 2 \times 10^{33} \text{ g} = 10^{57} \text{ átomos H}$$

$$P_{\odot} = 4 \times 10^{26} \text{ W} = 2 \times 10^{39} \text{ MeVs}^{-1}$$

¿Energía química?  $\longrightarrow T_{1/2}^{\odot} \sim 10^5 \text{ años}$

¿Energía gravitatoria?  $\longrightarrow T_{1/2}^{\odot} \sim 10^7 \text{ años}$

# Abundancia de elementos en el Sistema Solar



Abundancia  $\propto$  energía de ligadura (defecto de masa) nuclear

# Energía nuclear

- Rutherford (Cavendish, 1919):

primera reacción nuclear observada  $\alpha + {}^{14}\text{N} \rightarrow \text{p} + \text{X}$

reacciones  
nucleares



- generación de energía
- transmutación de elementos

- Eddington (Gales, 1920):

*“What is possible in the Cavendish Laboratory  
may not be too difficult in the sun”*

# 1948: 1<sup>ra</sup> conexión entre la física nuclear y la astronomía

R.A. Alpher,  
H. Bethe &  
G. Gamow:

*“The individual abundances of various nuclear species must depend not so much on the values of their intrinsic stabilities (mass defects) as on the values of their neutron capture cross sections.”*



## Letters to the Editor

**P**UBLICATION of brief reports of important discoveries in physics may be secured by addressing them to this department. The closing date for this department is five weeks prior to the date of issue. No proof will be sent to the authors. The Board of Editors does not hold itself responsible for the opinions expressed by the correspondents. Communications should not exceed 600 words in length.

### The Origin of Chemical Elements

R. A. ALPHER\*

Applied Physics Laboratory, The Johns Hopkins University,  
Silver Spring, Maryland

AND

H. BETHE

Cornell University, Ithaca, New York

AND

G. GAMOW

The George Washington University, Washington, D. C.  
February 13, 1948

**A**S pointed out by one of us,<sup>1</sup> various nuclear species must have originated not as the result of an equilibrium corresponding to a certain temperature and density, but rather as a consequence of a continuous building-up process arrested by a rapid expansion and cooling of the primordial matter. According to this picture, we must imagine the early stage of matter as a highly compressed neutron gas (overheated neutral nuclear fluid) which started decaying into protons and electrons when the gas pressure fell down as the result of universal expansion. The radiative capture of the still remaining neutrons by the newly formed protons must have led first to the formation of deuterium nuclei, and the subsequent neutron captures resulted in the building up of heavier and heavier nuclei. It must be remembered that, due to the comparatively short time allowed for this process,<sup>2</sup> the building up of heavier nuclei must have proceeded just above the upper fringe of the stable elements (short-lived Fermi elements), and the present frequency distribution of various atomic species was attained only somewhat later as the result of adjustment of their electric charges by  $\beta$ -decay.

Thus the observed slope of the abundance curve must not be related to the temperature of the original neutron

sion process. Also, the individual abundances of various nuclear species must depend not so much on their intrinsic stabilities (mass defects) as on the values of their neutron capture cross sections. The equations governing such a building-up process apparently can be written in the form:

$$\frac{dn_i}{dt} = f(t)(\sigma_{i-1}n_{i-1} - \sigma_i n_i) \quad i=1,2,\dots,238, \quad (1)$$

where  $n_i$  and  $\sigma_i$  are the relative numbers and capture cross sections for the nuclei of atomic weight  $i$ , and where  $f(t)$  is a factor characterizing the decrease of the density with time.

We may remark at first that the building-up process was apparently completed when the temperature of the neutron gas was still rather high, since otherwise the observed abundances would have been strongly affected by the resonances in the region of the slow neutrons. According to Hughes,<sup>3</sup> the neutron capture cross sections of various elements (for neutron energies of about 1 Mev) increase exponentially with atomic number halfway up the periodic system, remaining approximately constant for heavier elements.

Using these cross sections, one finds by integrating Eq. (1) as shown in Fig. 1 that the relative abundances of various nuclear species decrease rapidly for the lighter elements and remain approximately constant for the elements heavier than silver. In order to fit the calculated curve with the observed abundances<sup>4</sup> it is necessary to assume the integral of  $\rho dt$  during the building-up period is equal to  $5 \times 10^4$  g sec./cm<sup>3</sup>.

On the other hand, according to the relativistic theory of the expanding universe<sup>5</sup> the density dependence on time is given by  $\rho \propto 10^4/t^3$ . Since the integral of this expression diverges at  $t=0$ , it is necessary to assume that the building-up process began at a certain time  $t_0$ , satisfying the relation:

$$\int_{t_0}^{\infty} (10^4/t^3) dt \approx 5 \times 10^4, \quad (2)$$

which gives us  $t_0 \approx 20$  sec. and  $\rho_0 \approx 2.5 \times 10^4$  g sec./cm<sup>3</sup>. This result may have two meanings: (a) for the higher densities existing prior to that time the temperature of the neutron gas was so high that no aggregation was taking place, (b) the density of the universe never exceeded the value  $2.5 \times 10^4$  g sec./cm<sup>3</sup> which can possibly be understood if we

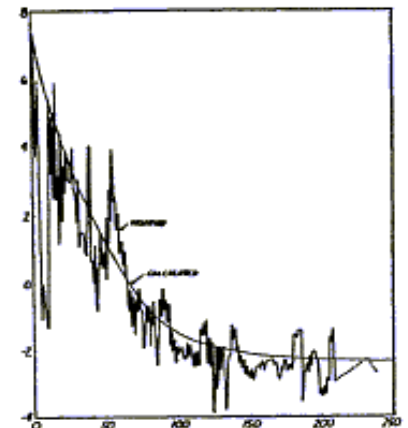


FIG. 1.  
Log of relative abundance  
Atomic weight

# ASTROFÍSICA NUCLEAR

## Astronomía:

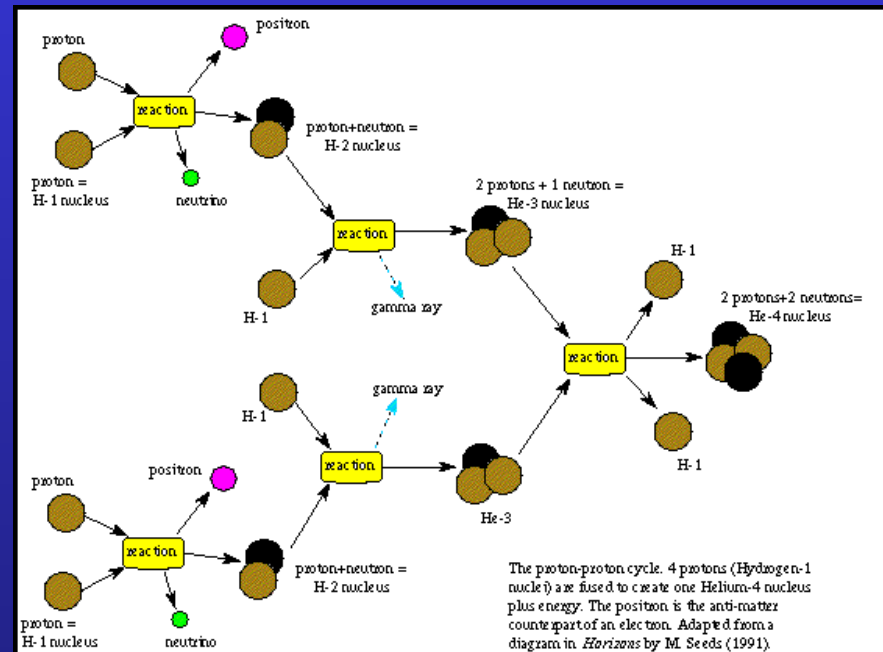
- más antigua de las ciencias: primeras observaciones en Egipto y América central  $\sim 4000$  a.C.
- mayor de las escalas: cúmulo de galaxias  $\sim 10^{24}$  m



Cúmulo de galaxias Coma. Cada punto es una galaxia.

## Física nuclear:

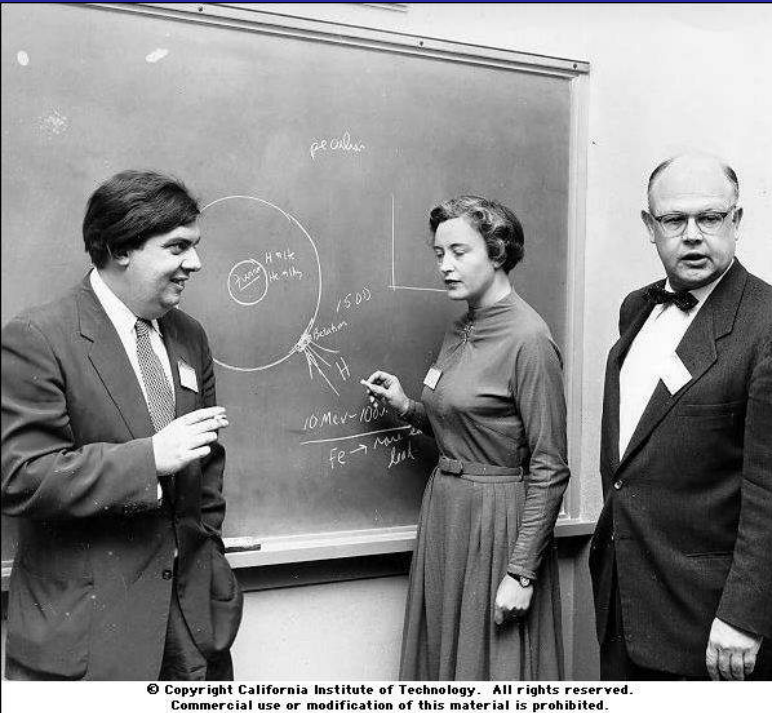
- más reciente de las ciencias: secciones eficaces de reacción siglo XX
- menor de las escalas: partículas  $\sim 10^{-15}$  m



# Primer modelo de la nucleosíntesis estelar

E.M. Burbidge, G.R. Burbidge,  
W.A. Fowler, F. Hoyle

*“Synthesis of the Elements in Stars”*



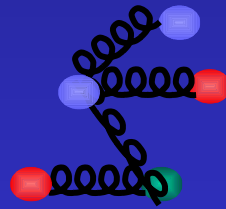
Geoffrey R. Burbidge, E. Margaret  
Burbidge y William A. Fowler

Review of Modern Physics  
Volume 29, Number 4, October  
(1957) p. 547-650.

# Nucleosíntesis primordial

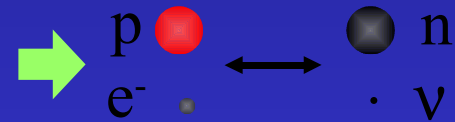


$0 < t < 10^{-6} \text{ s}$   
Plasma q-g



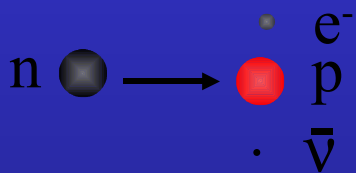
$T > 10^{12} \text{ K}$   
 $E > 100 \text{ MeV}$   
 $\rho \sim 10^{15} \text{ g/cm}^3$

$t \sim 10^{-2} \text{ s}$   
equilibrio p-n



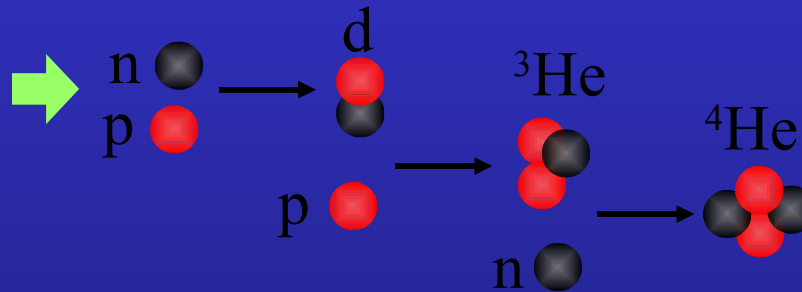
$T \sim 10^{11} \text{ K}$   
 $E \sim 10 \text{ MeV}$   
 $\rho \sim 10^{11} \text{ g/cm}^3$

$t \sim 1 \text{ s}$   
decaimiento n



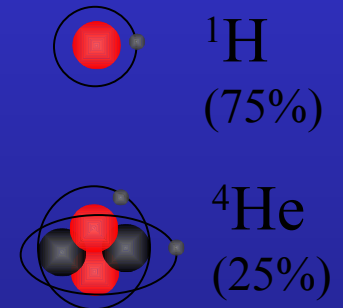
$T \sim 10^{10} \text{ K}$   
 $E \sim 1 \text{ MeV}$   
 $\rho \sim 10^5 \text{ g/cm}^3$

$t \sim 10^2 \text{ s}$   
nucleosíntesis



$T \sim 10^9 \text{ K}$   
 $E \sim 0,1 \text{ MeV}$   
 $\rho \sim 10^5 \text{ g/cm}^3$

$t \sim 10^{10} \text{ años}$   
actualidad



$T \sim 3 \text{ K}$   
 $E \sim 0,25 \text{ meV}$   
 $\rho \sim 10^{-29} \text{ g/cm}^3$



# Resultado de la nucleosíntesis primordial

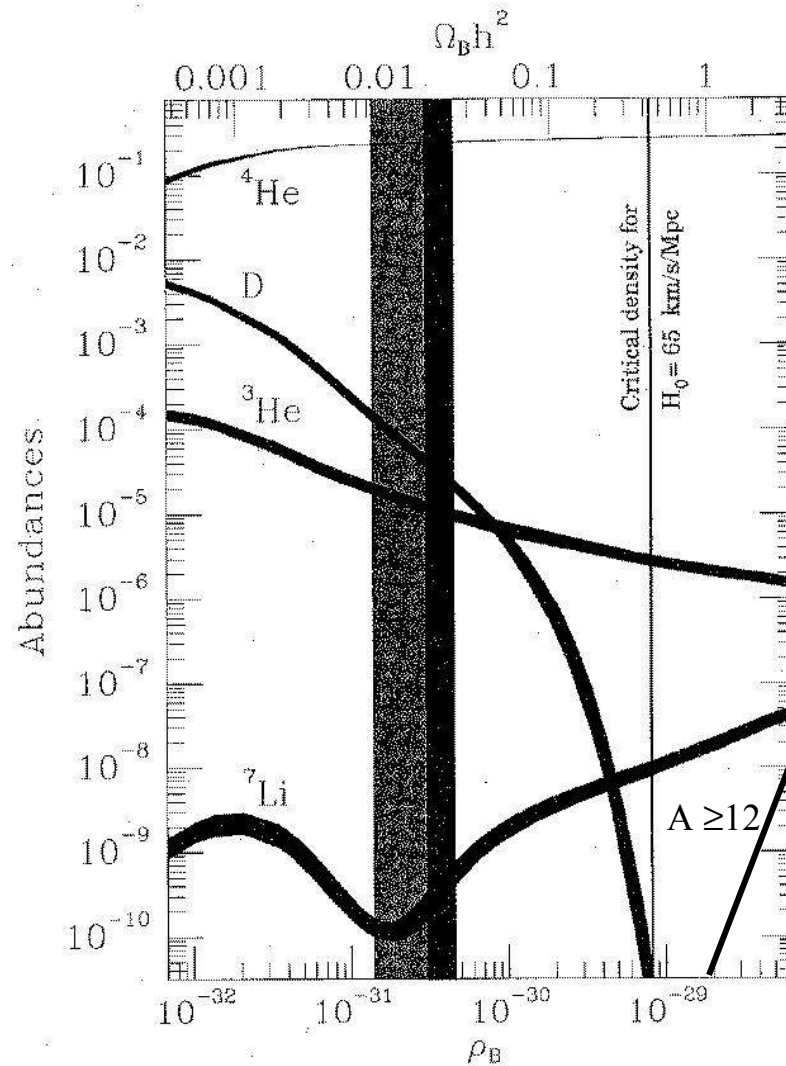


Figure 11.1 The predicted abundances of light nuclei, as a function of the absolute baryon density along the bottom or  $\Omega_B h^2$  along the top. The width of the bands indicates the uncertainty in the predictions. The vertical bands show the range compatible with observations, while the vertical line shows the critical density. [From Schramm & Turner, *Rev. Mod. Phys.* 70, 303 (1998), courtesy Michael Turner].

# Nucleosíntesis estelar

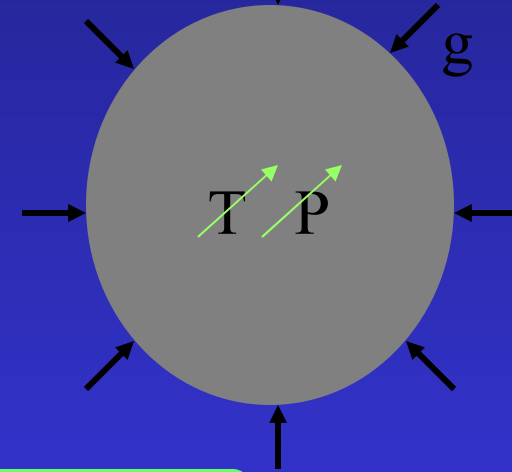
nubes  
moleculares



colapso  
gravitatorio

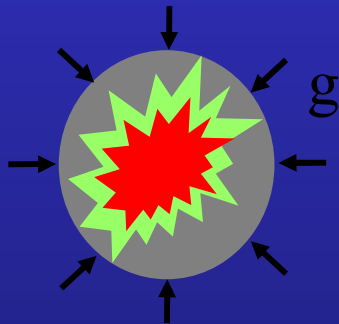


protoestrella



Si  $M > 0,08 M_{\odot}$  ➔ fusión de H

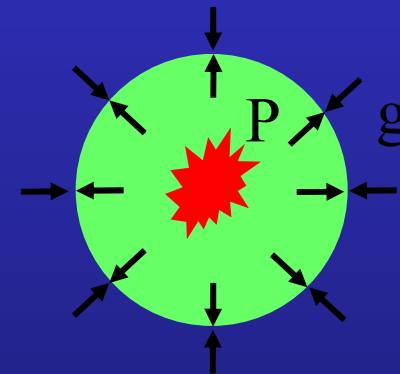
encendido de la  
combustión de hidrógeno



presión  
térmica



combustión de hidrógeno en  
equilibrio hidrostático ( $T \sim 10^7$  K)



# Energías de la nucleosíntesis estelar

$$T \sim 10^7 \text{ K} \quad \rightarrow \quad kT \sim 0,86 \text{ keV}$$

pero

$$V_{BC}(p-p) = 468 \text{ keV} !$$

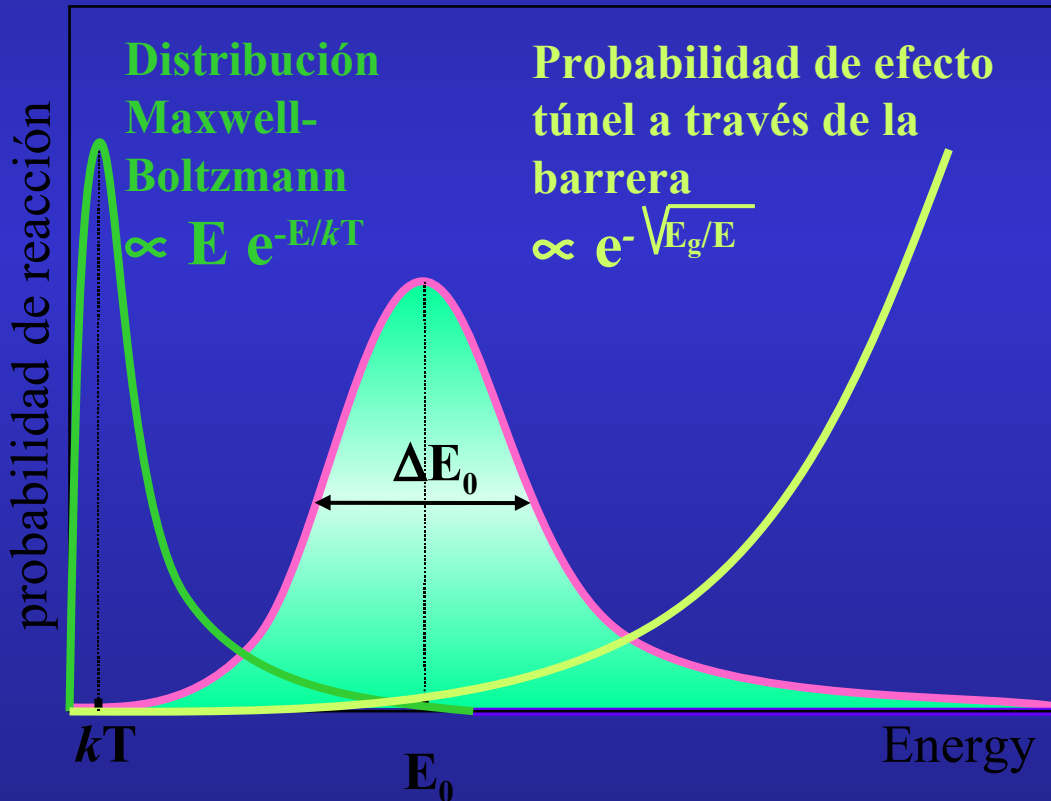
$$\text{a } T \sim 10^7 \text{ K} \quad \frac{\phi_{MB}(468 \text{ keV})}{\phi_{MB}(0,86 \text{ keV})} \sim 10^{-233}$$

*La probabilidad de hallar un protón en el sol con energía  $> V_{BC}(p-p)$  es menor a  $10^{-177}$  !!!*

→ Fusión de H por debajo de la barrera coulombiana por efecto túnel.

# Pico de Gamow

$$\text{Reaction rate: } N_A \langle \sigma v \rangle = N_A \sqrt{\frac{8}{\pi M_{12} (kT)^3}} \int_0^\infty \sigma(E) E e^{-E/kT} dE$$



$$E_0 \propto T^{2/3} \quad \Delta$$

$$E_0 \propto T^{5/6}$$

$$\text{a } T_\odot = 15 \text{ MK}$$

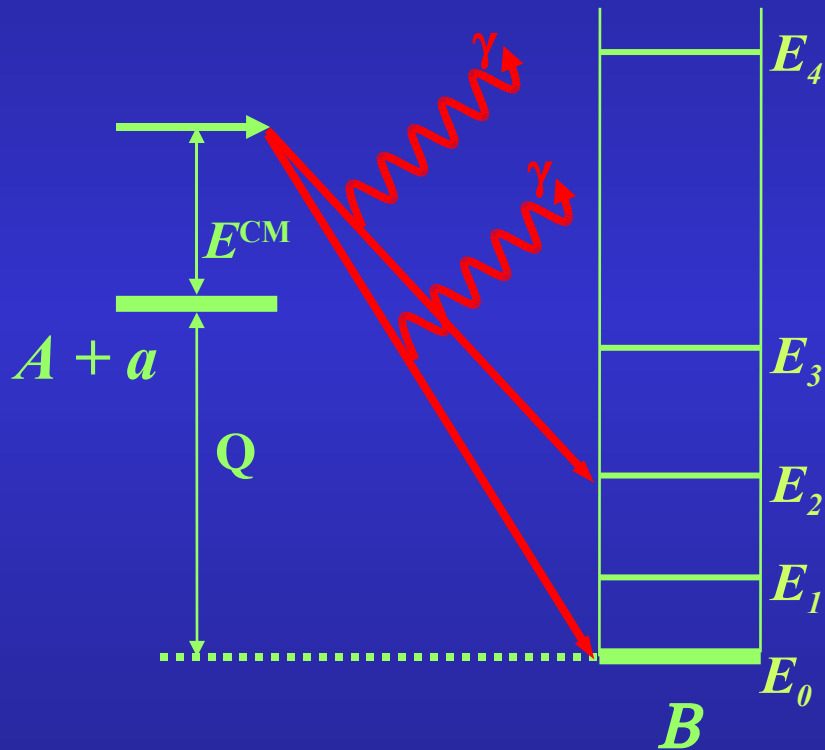
$$p + p \quad E_0 = 6 \text{ keV}$$

$$P + {}^{12}\text{C} \quad E_0 = 24 \text{ keV}$$

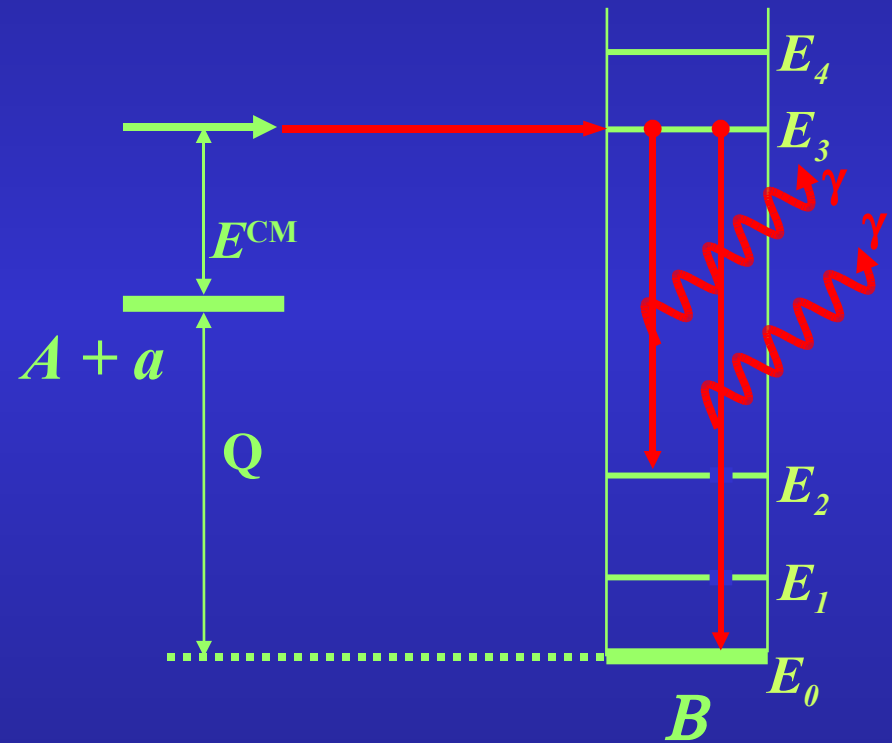
$$\sqrt{E_g/E} = 2\pi Z_1 Z_2 e^2 / \hbar v$$

# Reacciones de captura

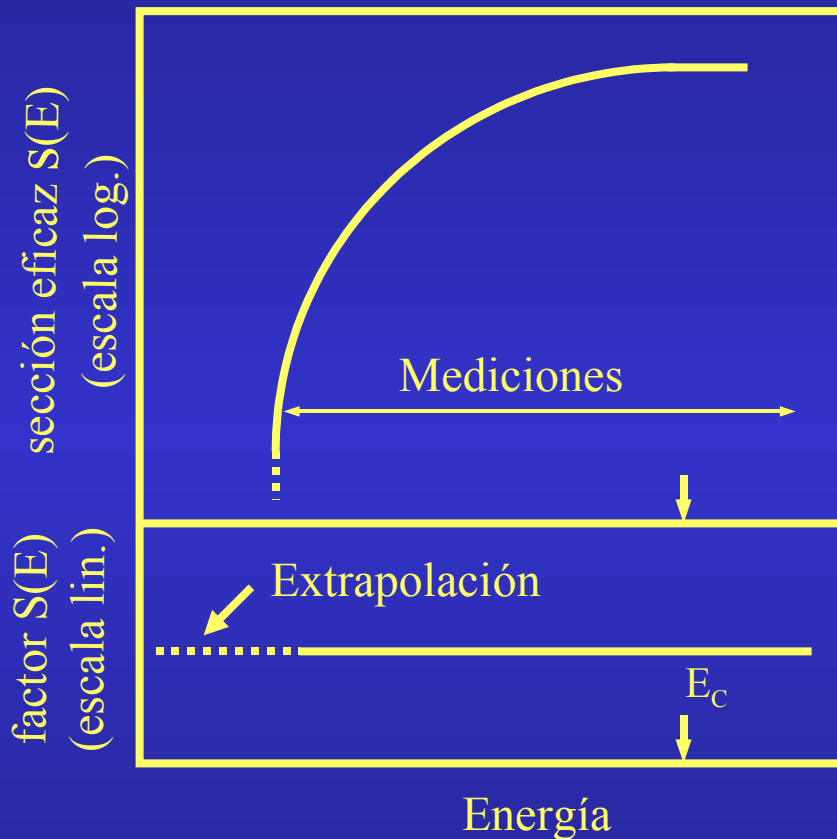
captura no resonante



captura resonante



# Captura no resonante



a  $E \ll E_C$

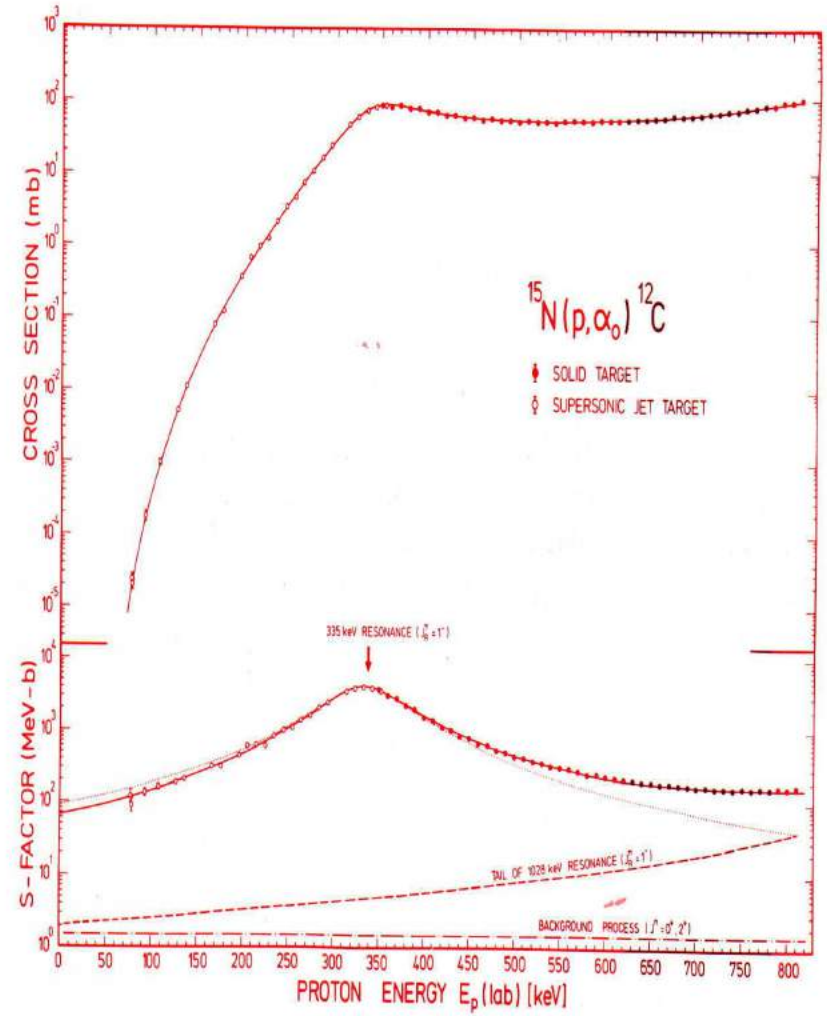
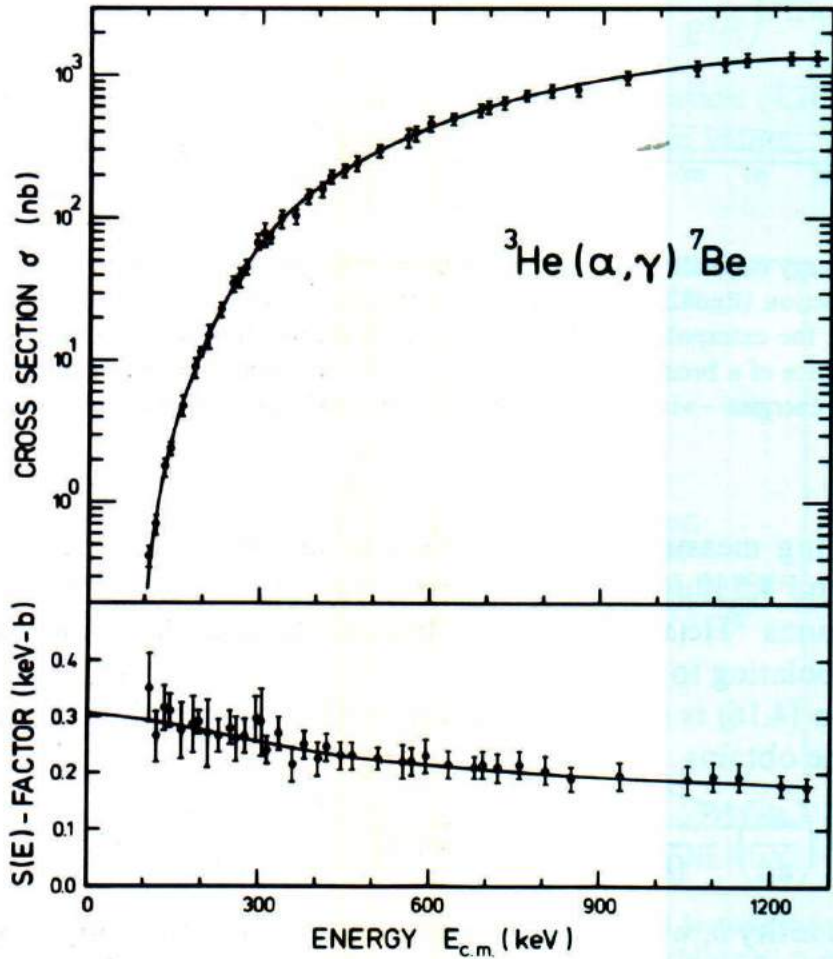
$$\sigma(E) = \pi \lambda^2 e^{-2\pi\eta} S(E)$$

$\eta = Z_1 Z_2 e^2 / (h\nu)$  es el parámetro de Sommerfeld.

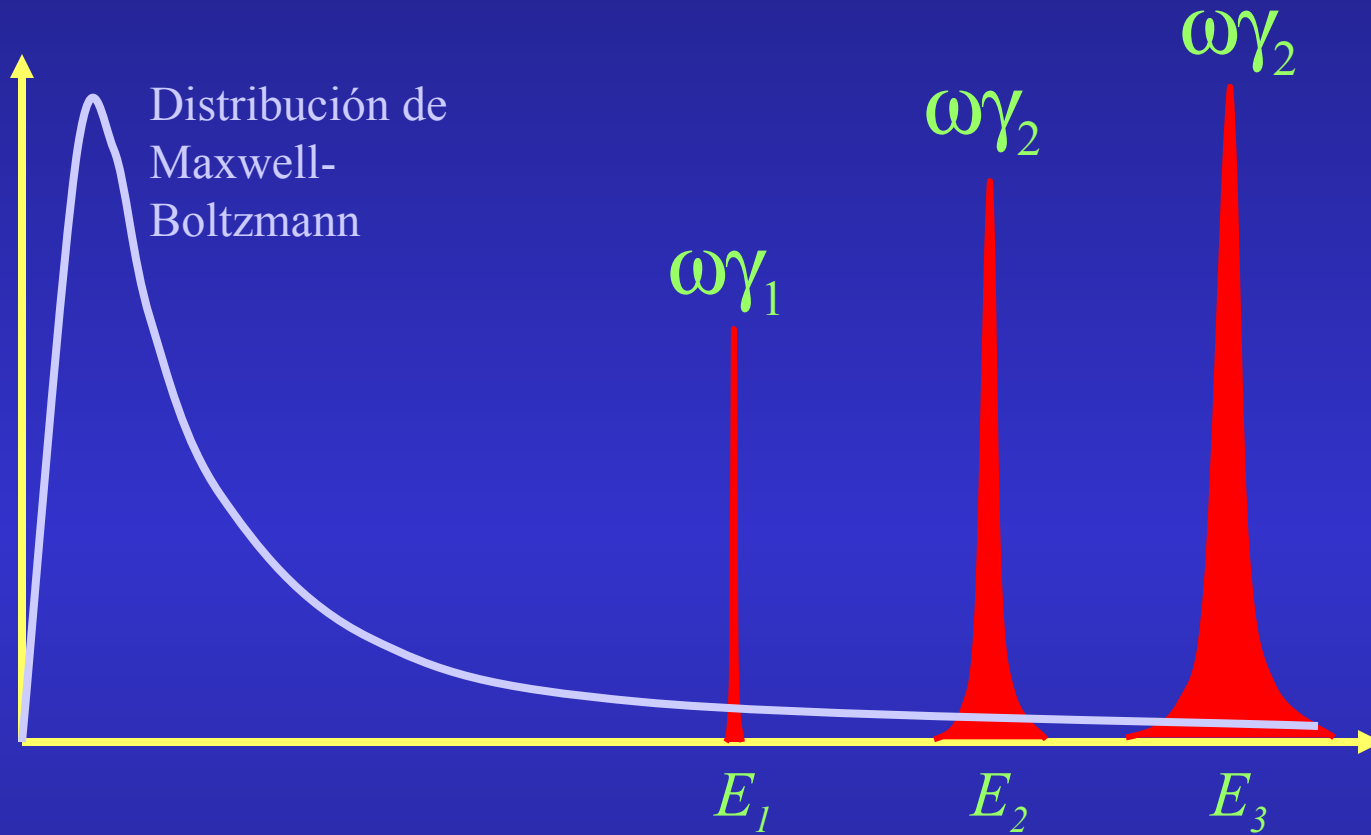
$S(E)$  es el factor astrofísico (contiene todos los factores estrictamente nucleares).

$$\langle \sigma v \rangle \propto T^{(E_0/kT - 2/3)}$$

# Ejemplos



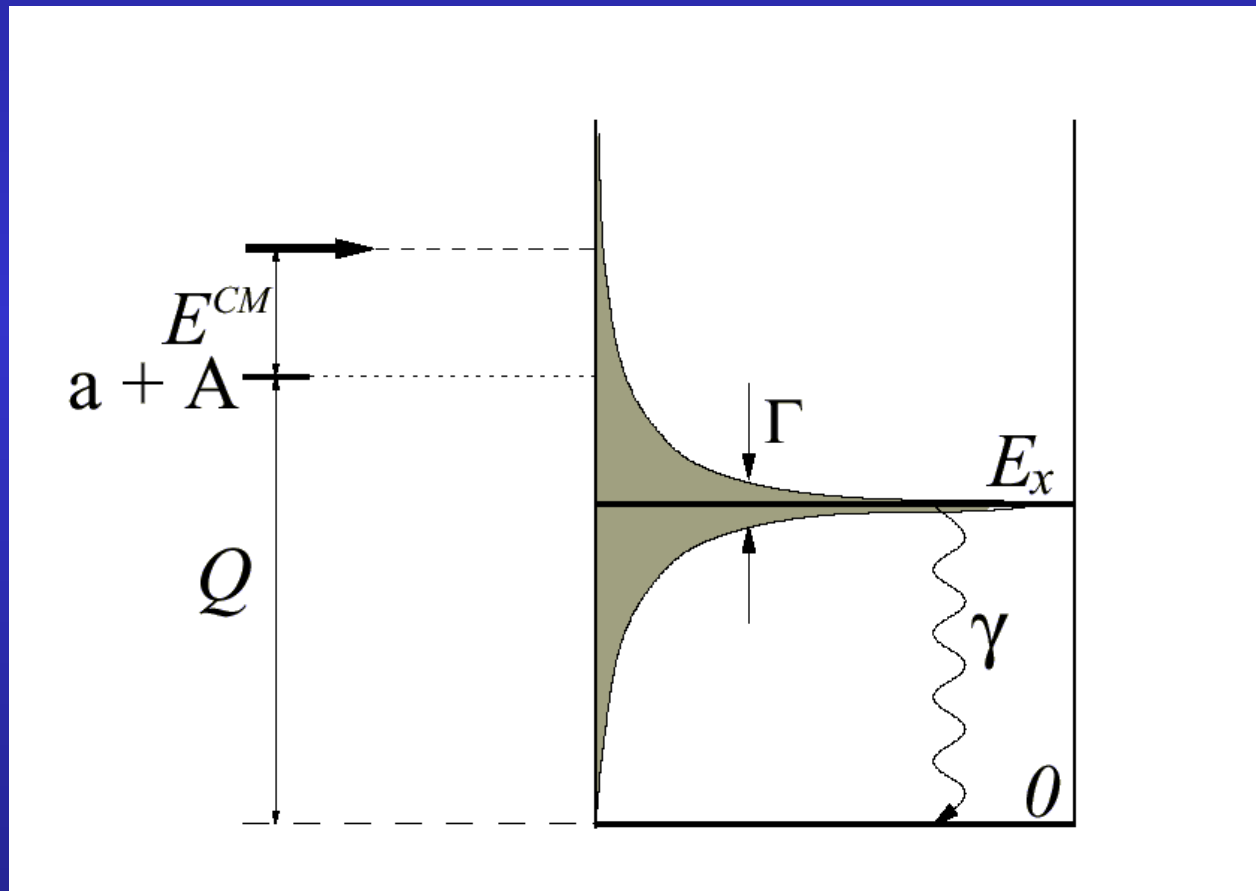
# Captura resonante



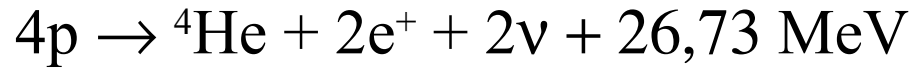
$$\langle \sigma v \rangle \propto \sum \omega \gamma_i e^{-E_i/kT}$$



# Captura resonante por debajo del umbral



# Cadena protón – protón



86%



## p – p I

$Q_{\text{ef}} = 26,20 \text{ MeV}$   
(pérdida 2,0 %)

14%



14%



## p – p II

$Q_{\text{ef}} = 25,66 \text{ MeV}$   
(pérdida 4,0 %)

0,02%

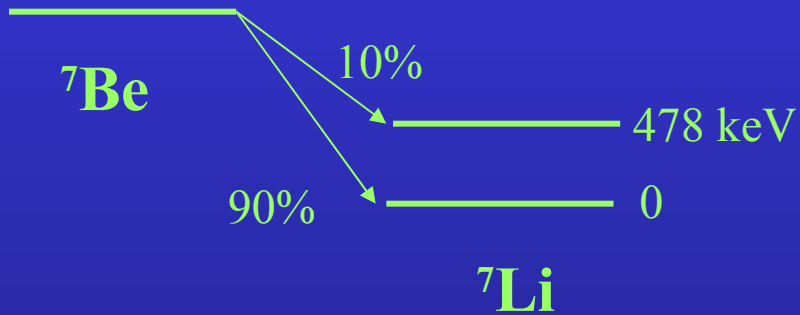


## p – p III

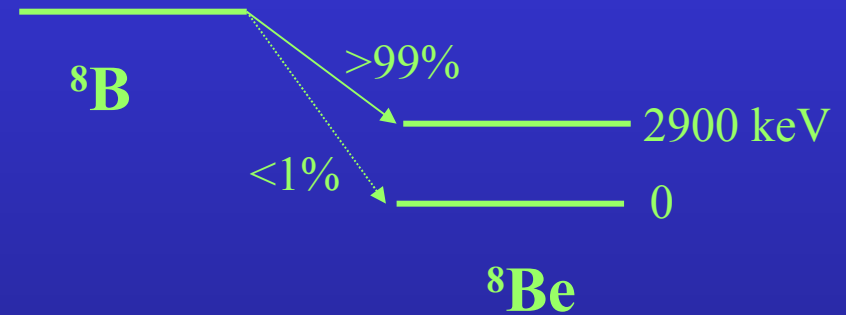
$Q_{\text{ef}} = 19,17 \text{ MeV}$   
(pérdida 28,3 %)

# Emisión de neutrinos

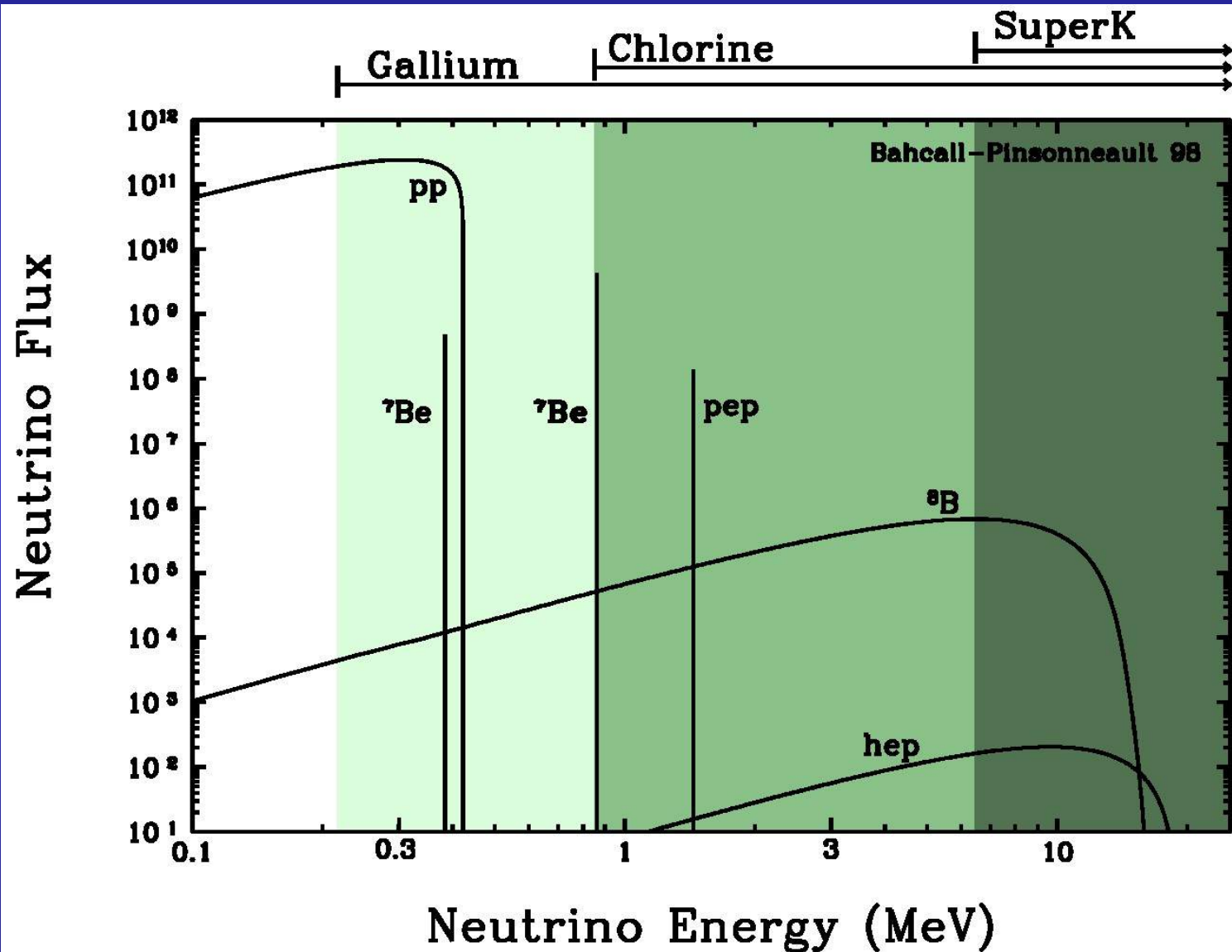
captura electrónica:



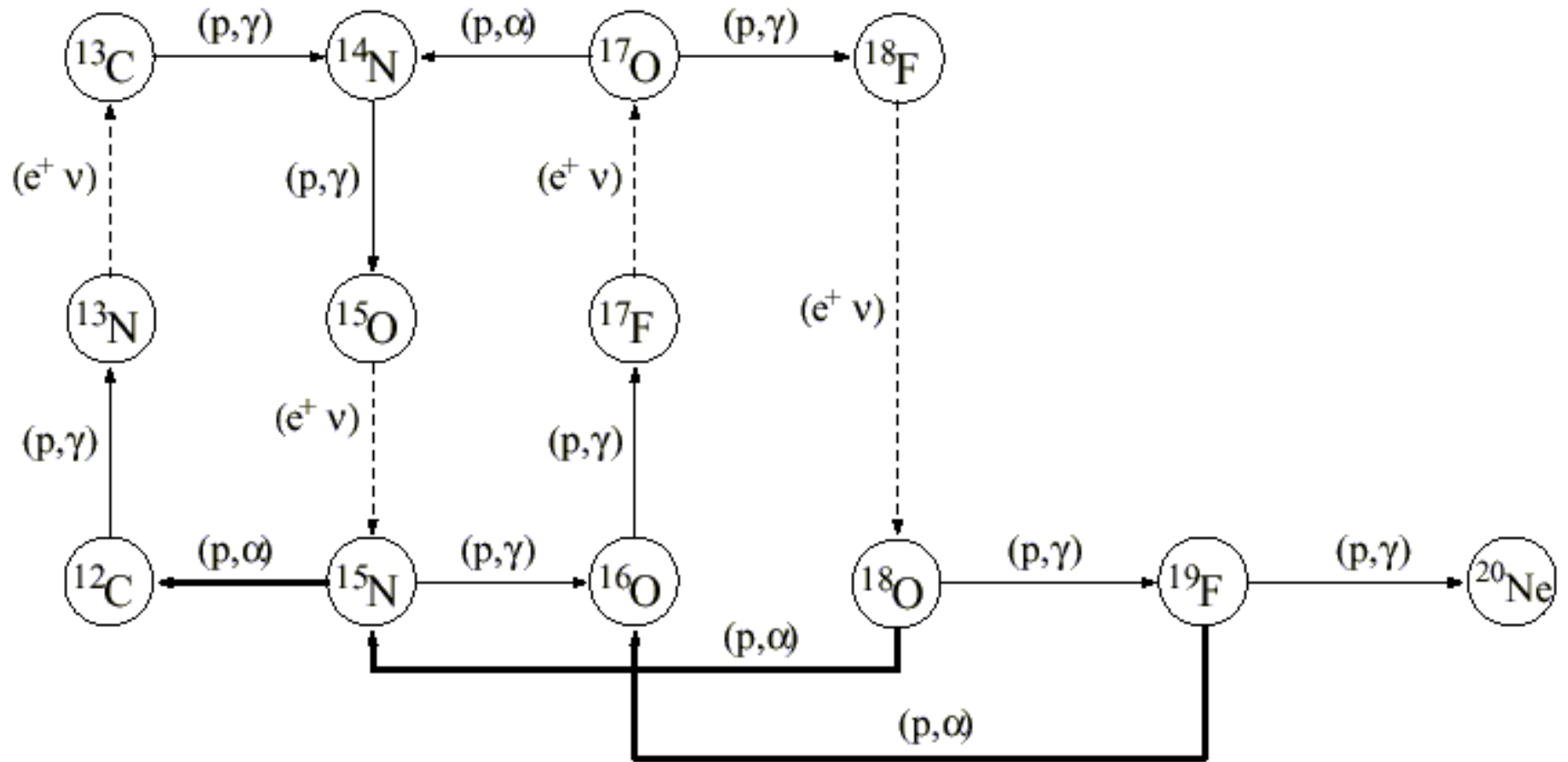
decaimiento  $\beta^+$ :



# Espectro de neutrinos solares



# Ciclo C – N – O



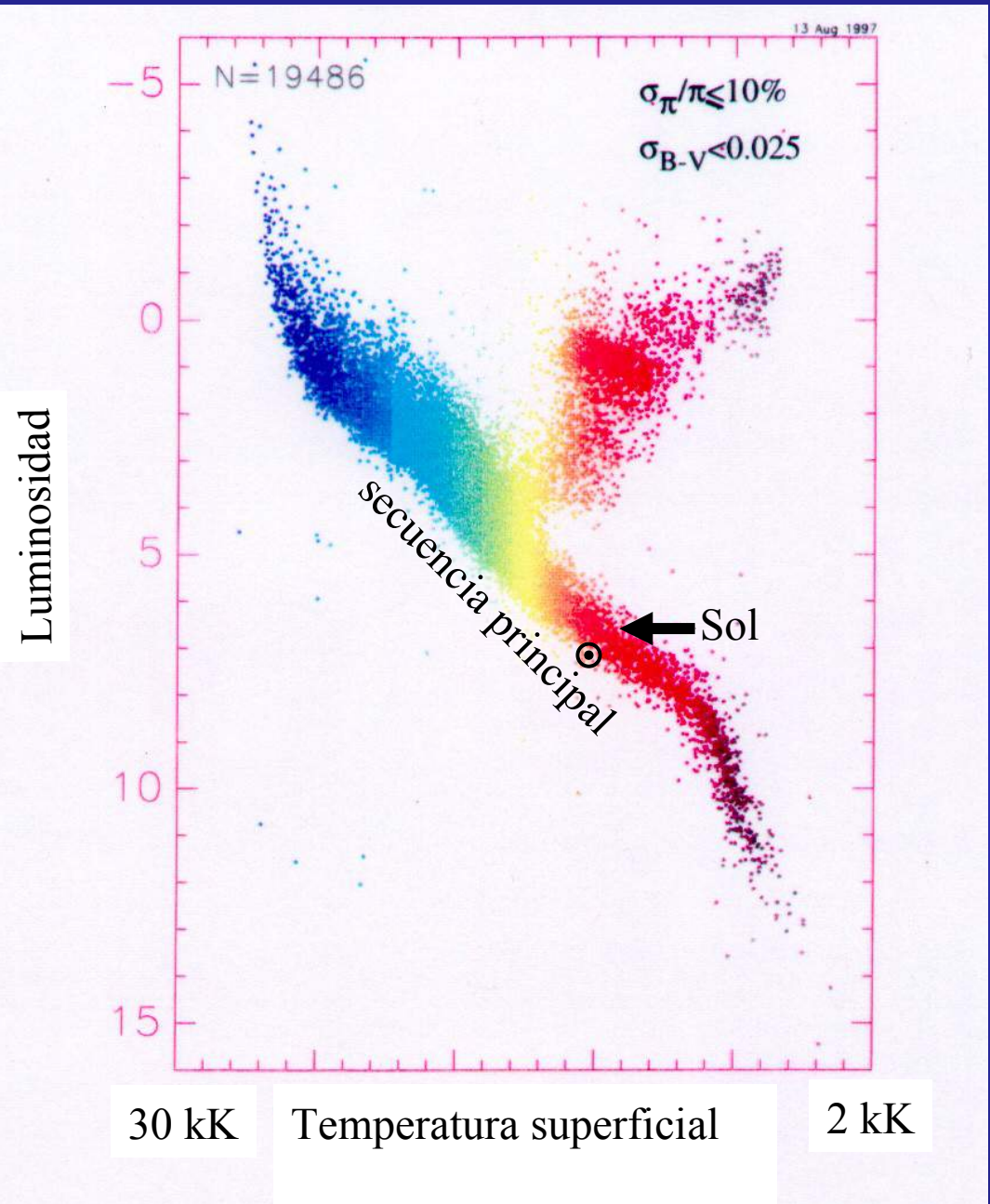
# Diagrama de Hertzsprung-Russell

Ley de Stefan:

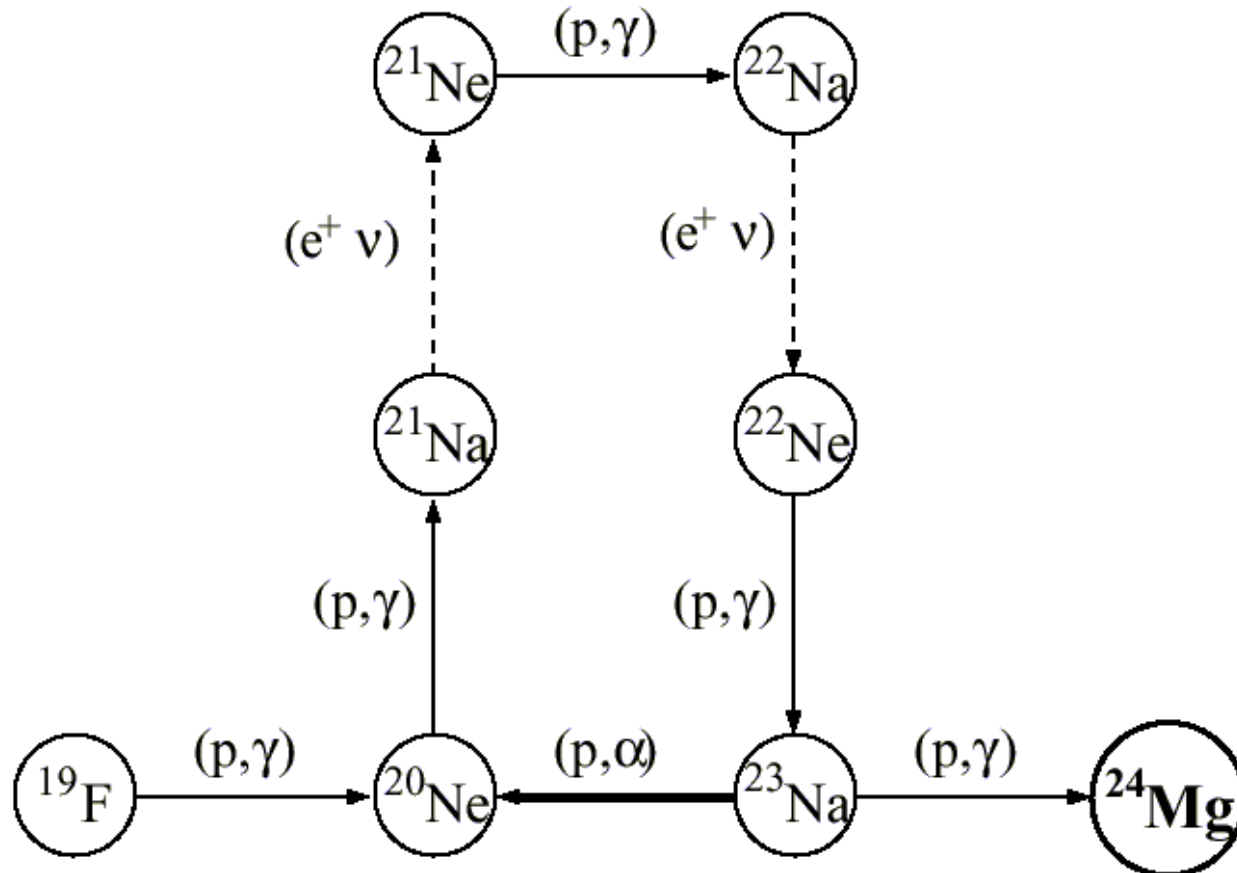
$$L=4\pi R^2\sigma T^4$$



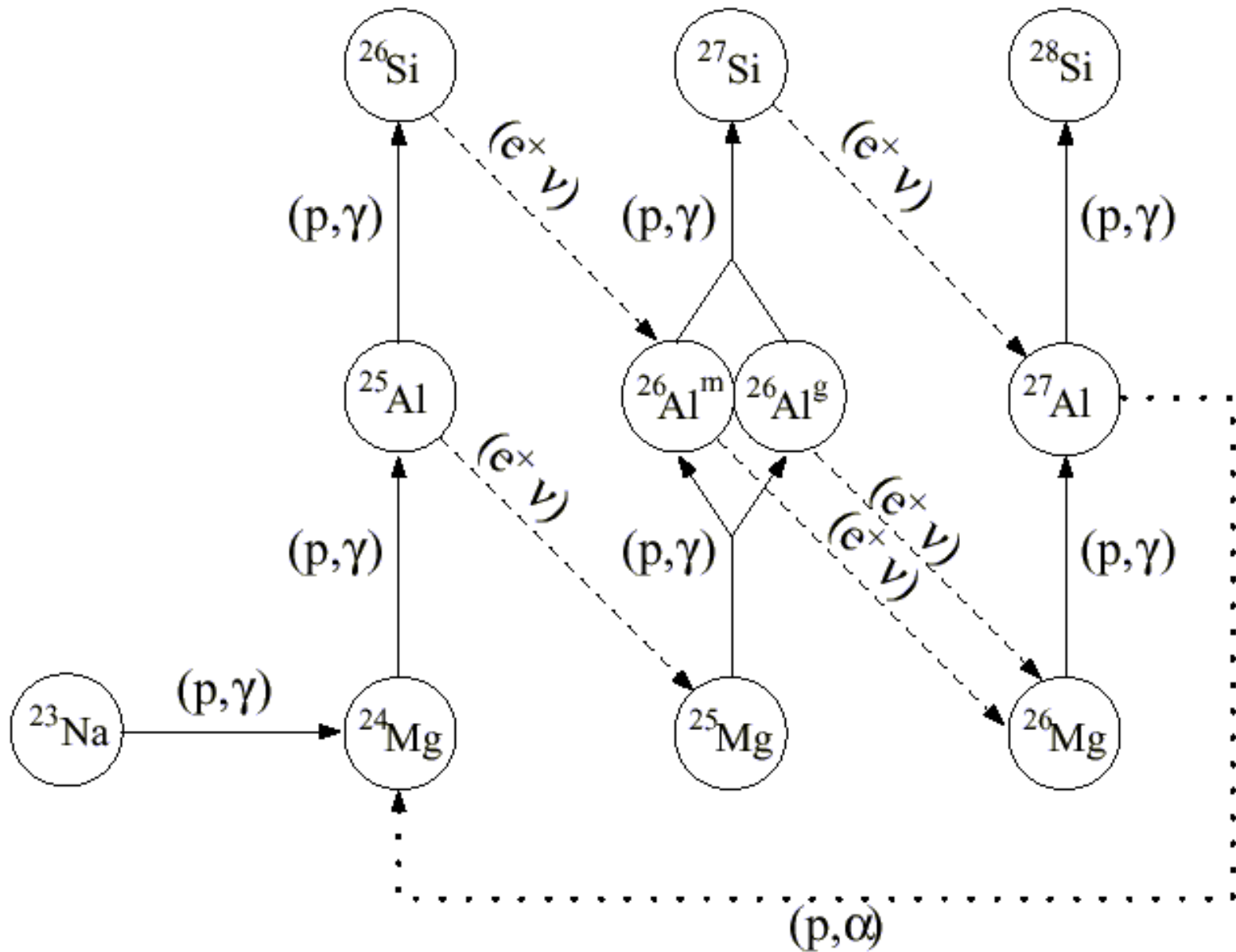
$$L/L_{\odot}=(R/R_{\odot})^2(T/T_{\odot})^4$$



# Ciclo Ne – Na



# Cadena Mg – Al

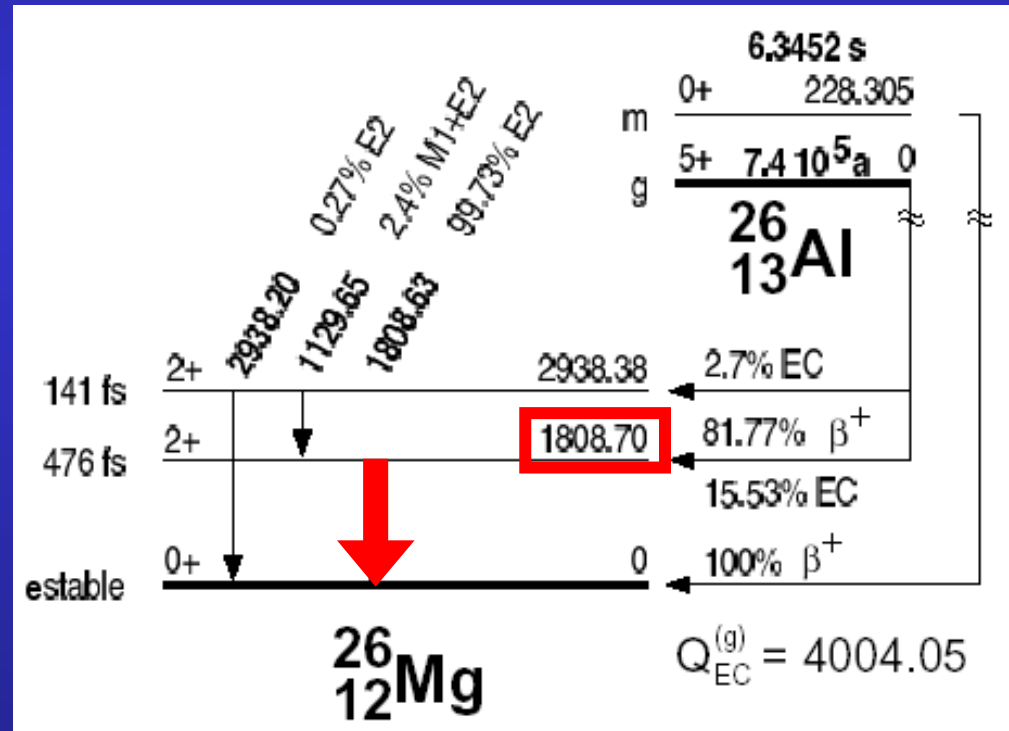
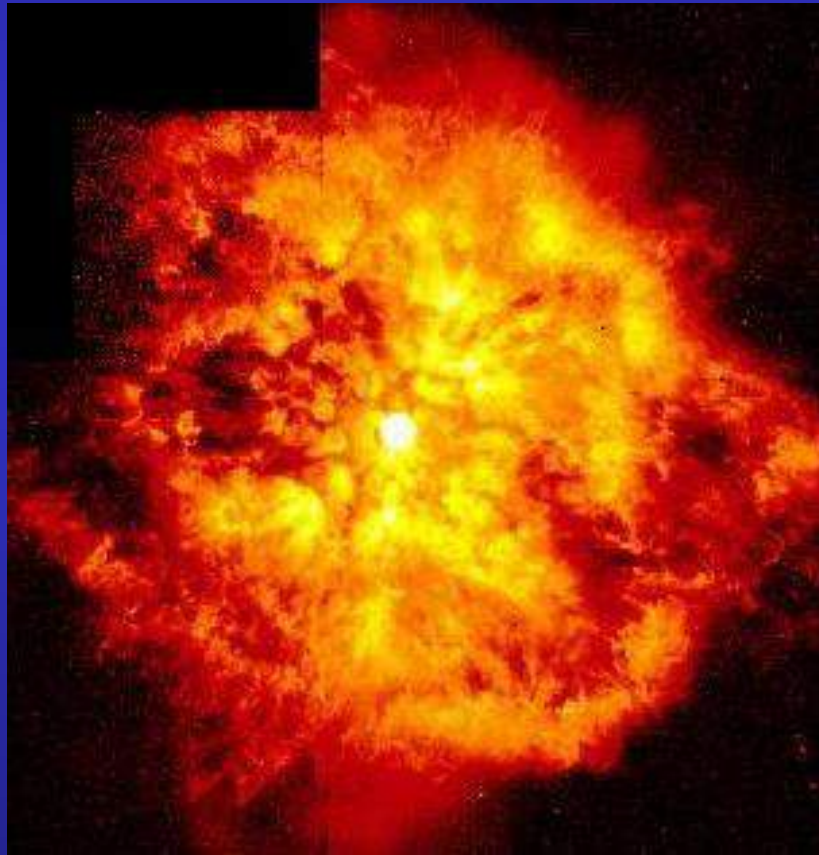




# Expulsión de $^{26}\text{Al}^g$ al medio interestelar y su decaimiento

Estrellas masivas  
( $M \sim 40 - 100 M_{\odot}$ )  
en etapa de Wolf-Rayet:  
expulsan  $10^{-4} M_{\odot}$  de  $^{26}\text{Al}$

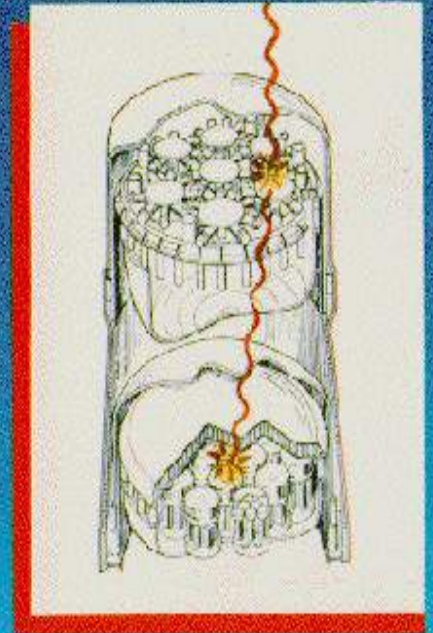
$^{26}\text{Al}$  en el medio interestelar:  
emite su rayo  $\gamma$  característico  
de 1809 keV



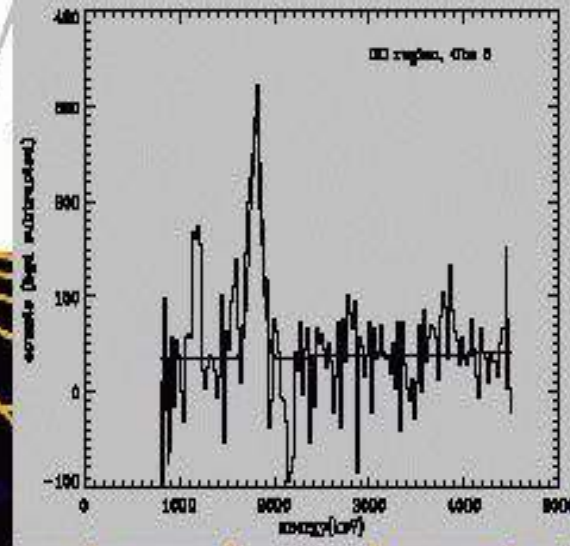
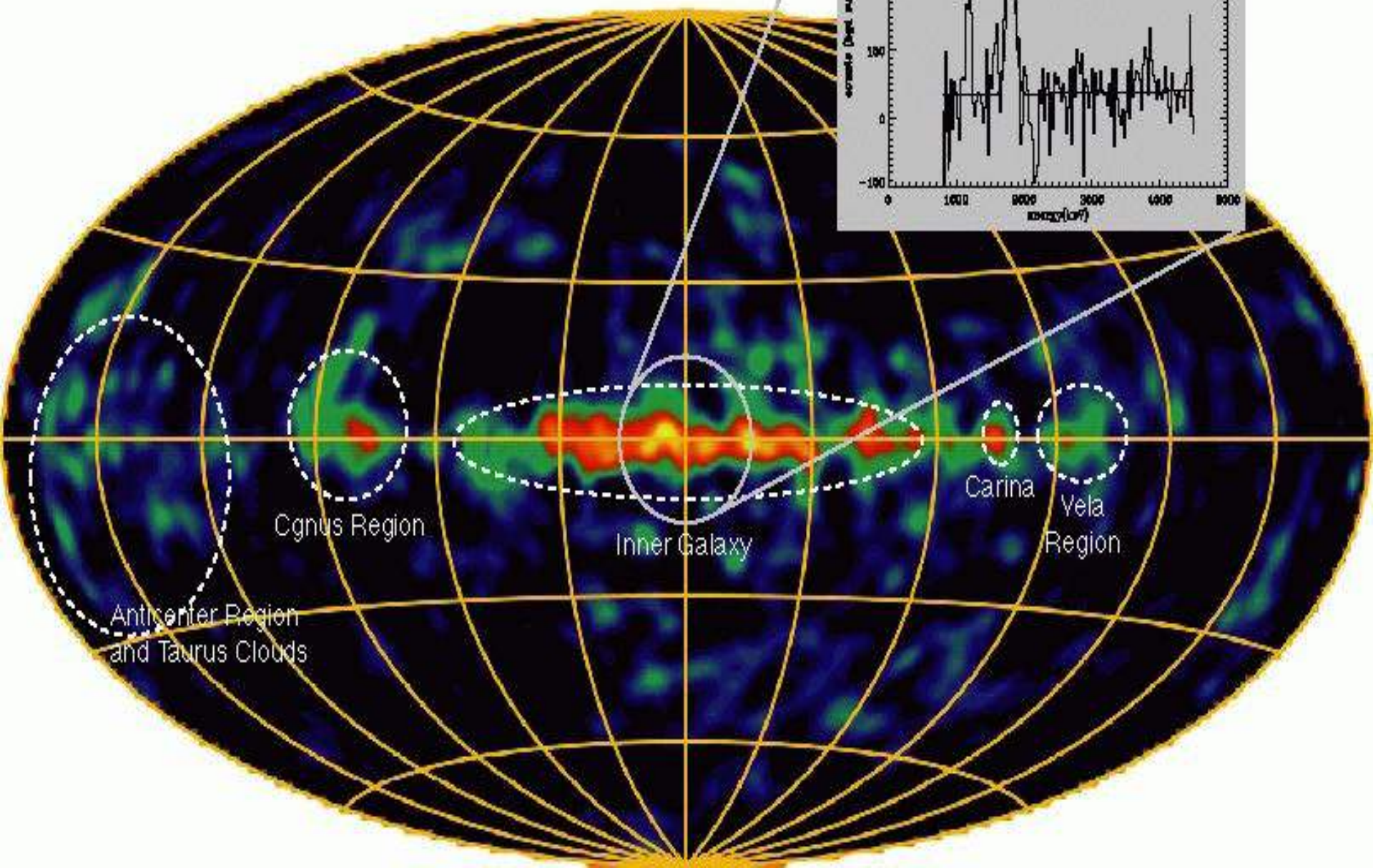
# Telescopio de rayos $\gamma$ COMPTEL



Imaging Compton Telescope  
(COMPTEL)



Mapa de la emisión de rayos  $\gamma$  de 1.809 MeV de la galaxia, tomado por el telescopio COMPTEL.



## Combustión de He



$$\begin{array}{c} \uparrow \\ \tau \sim 10^{-16} \text{ s} \end{array} \longrightarrow \epsilon_{3\alpha} \propto T^{41}$$



Proceso triple  $\alpha$ : único puente para pasar el intervalo de inestabilidad  $A=5$  y  $A=8$

${}^{12}\text{C}^*$  (estado excitado en 7,68 MeV) :

predicho por Hoyle para poder explicar la abundancia de  ${}^{12}\text{C}$  en el Universo

astronomía



física nuclear

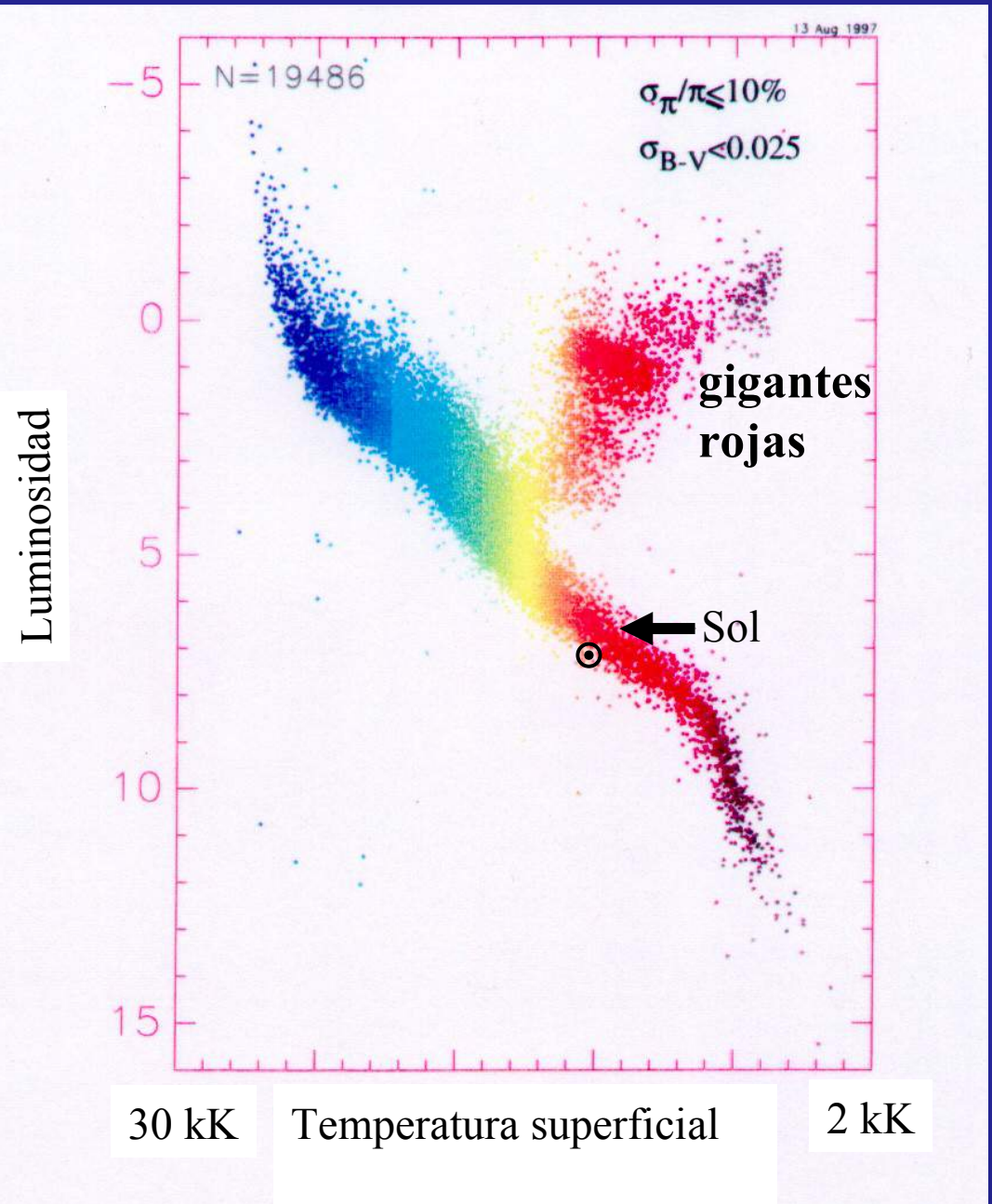
# Diagrama de Hertzsprung-Russell

Ley de Stefan:

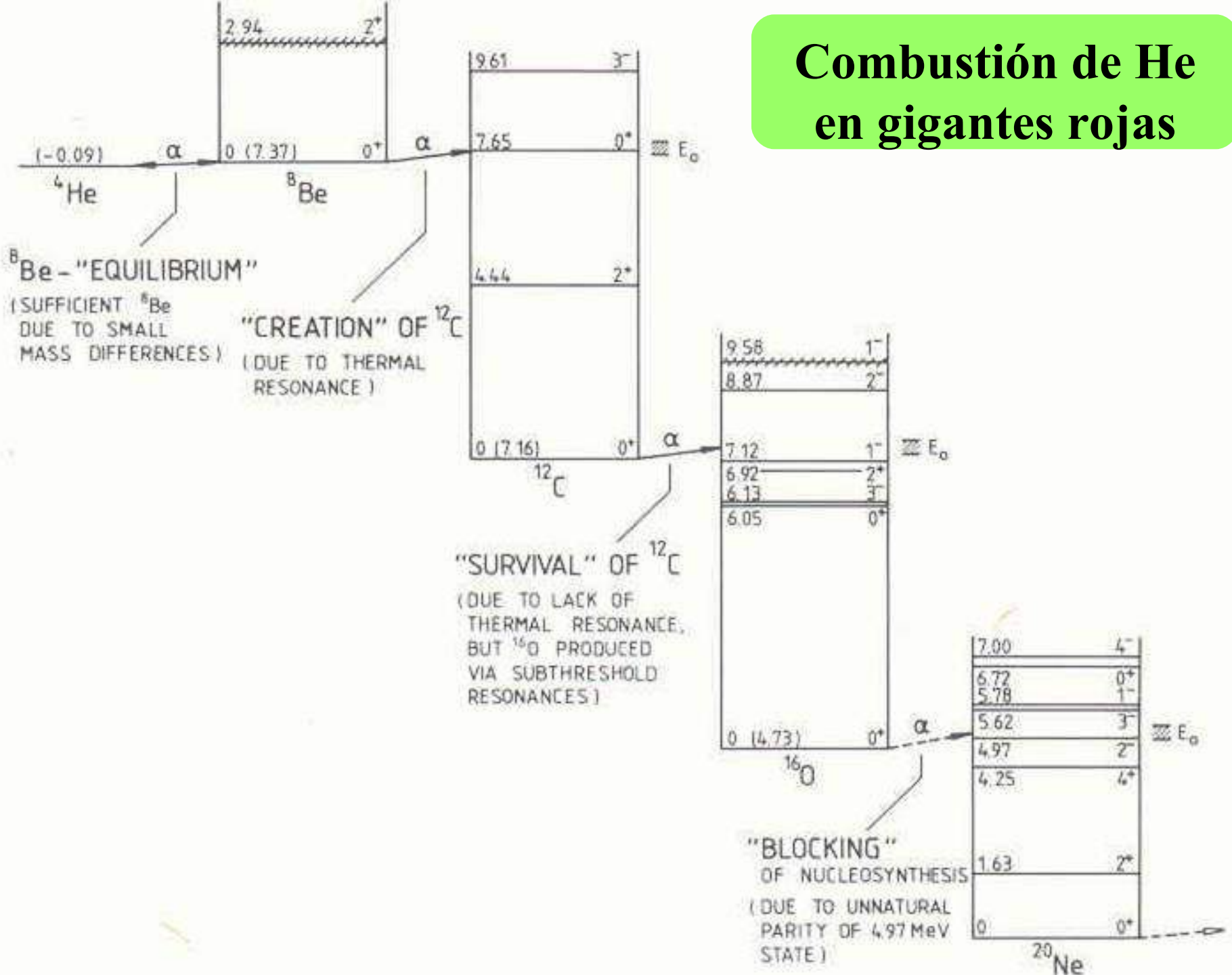
$$L=4\pi R^2\sigma T^4$$



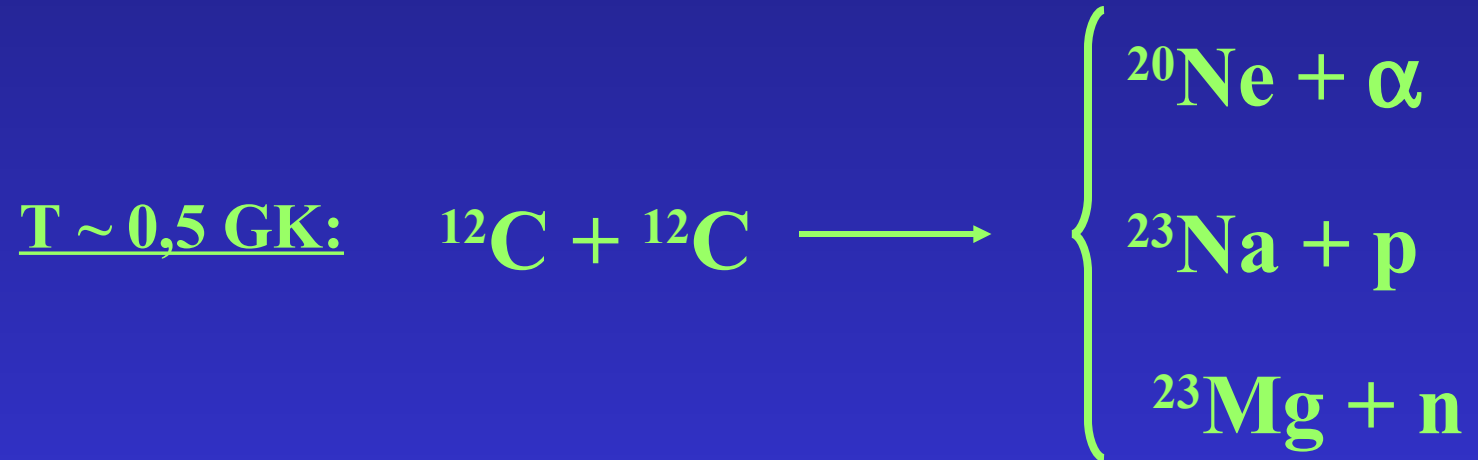
$$L/L_{\odot}=(R/R_{\odot})^2(T/T_{\odot})^4$$



# Combustión de He en gigantes rojas



## Combustión de C

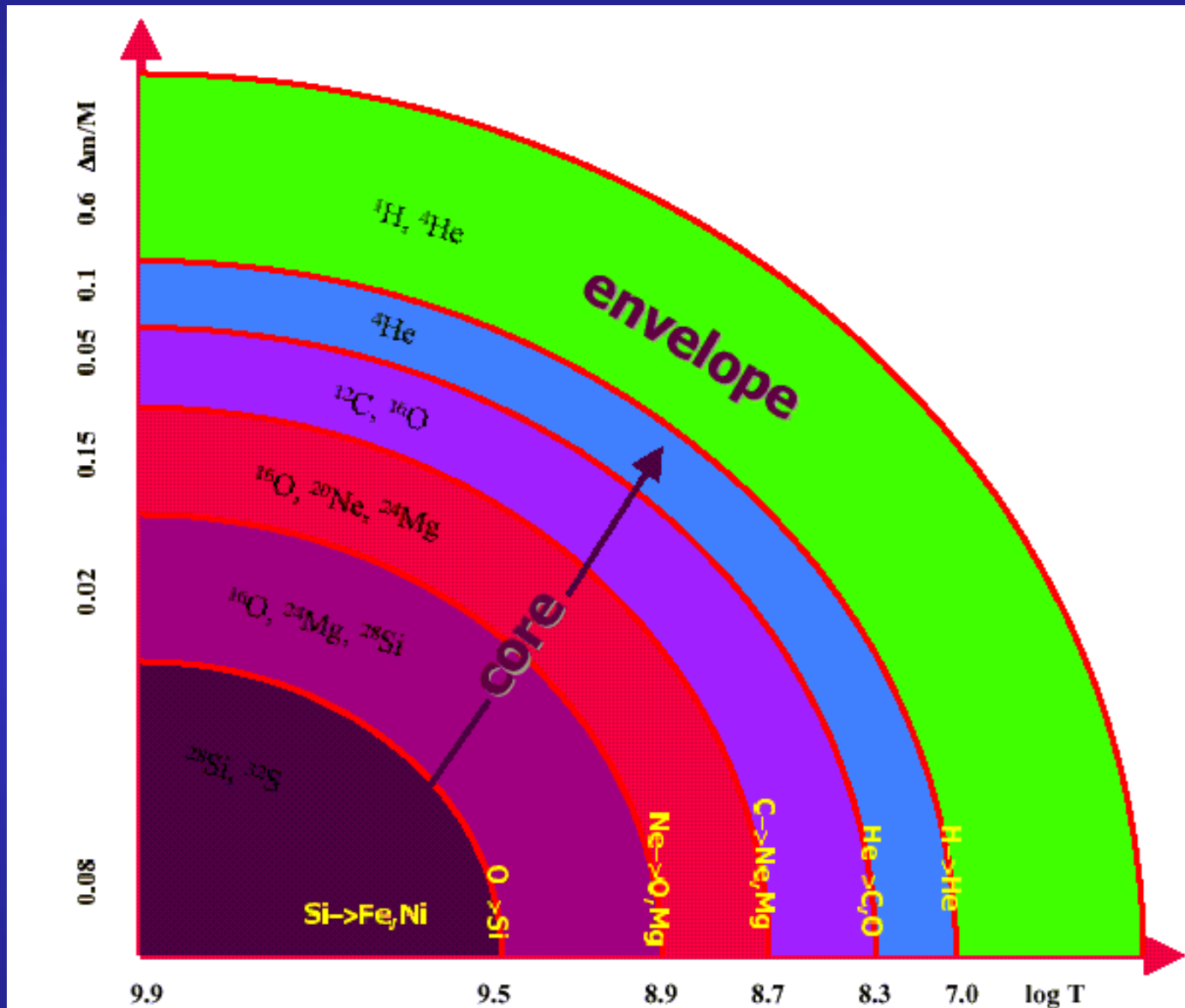


## Combustión de Si

T ~ 3 GK:

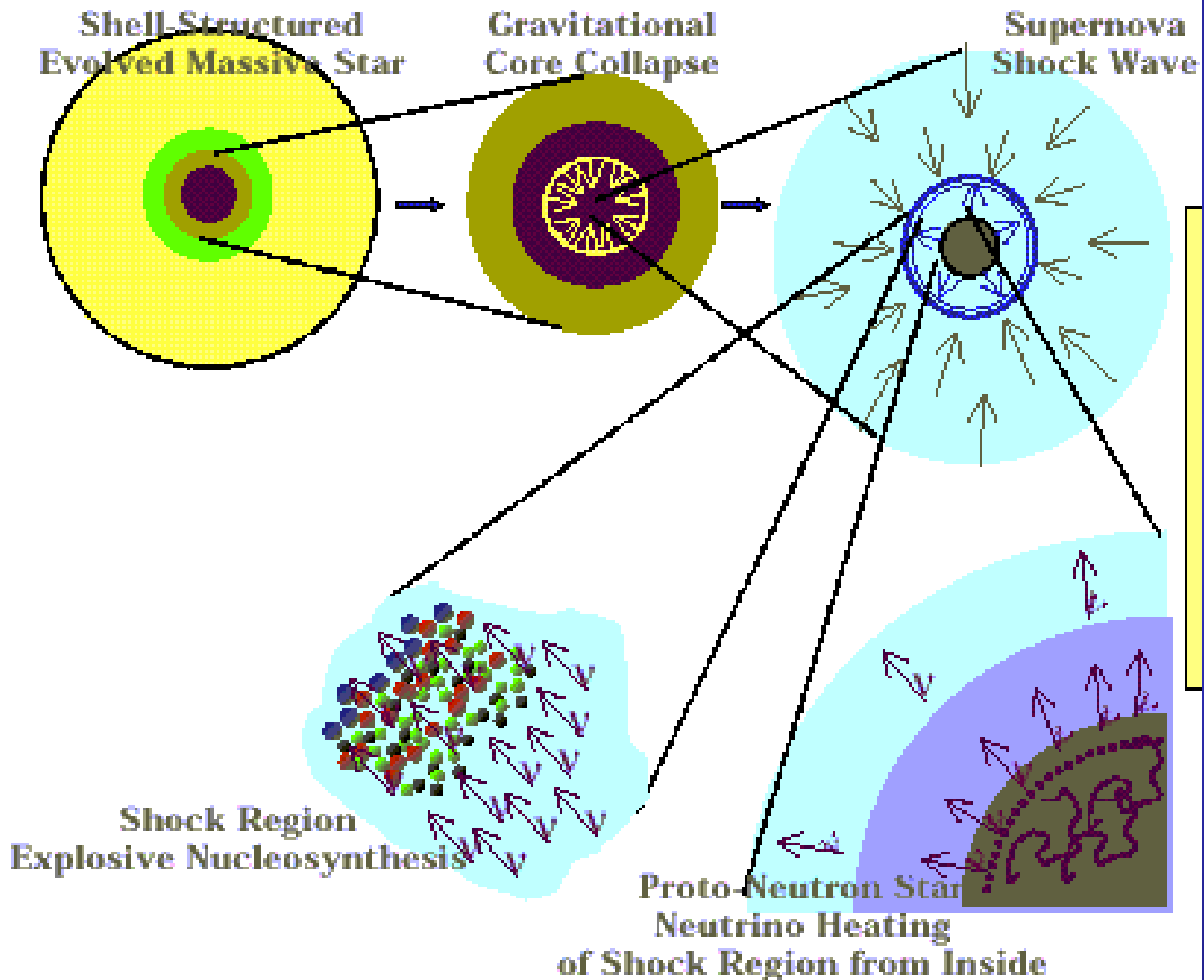


# Estrella masiva en estado avanzado de combustión

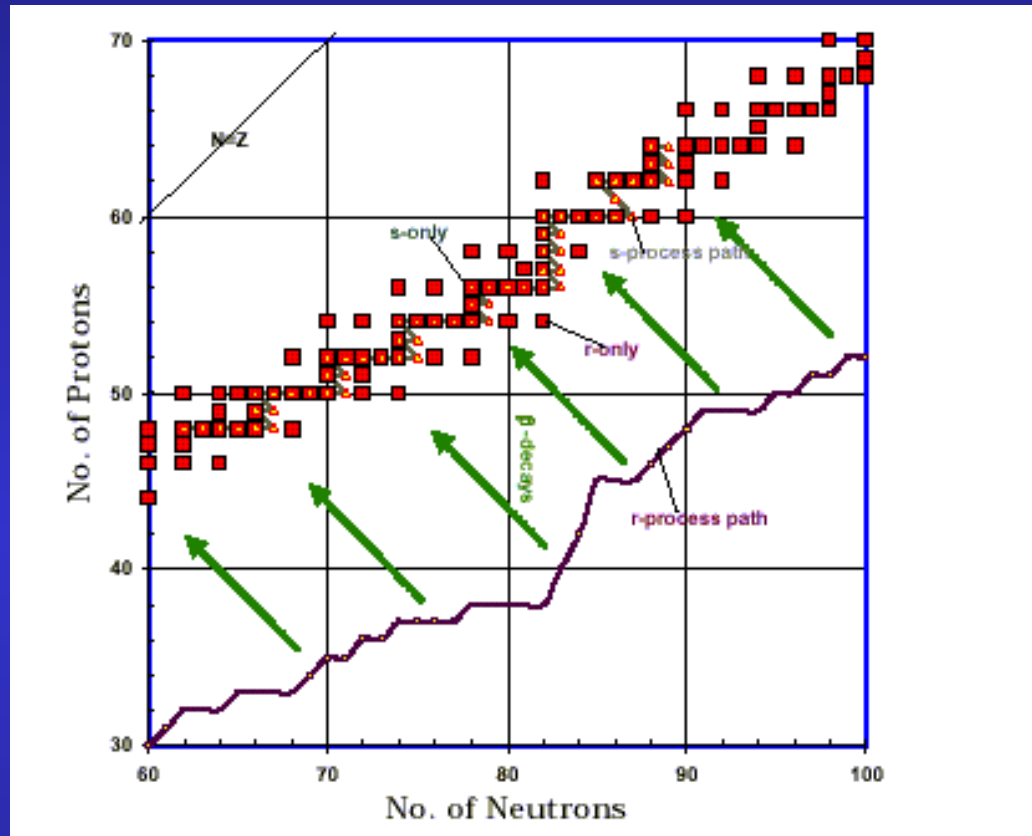




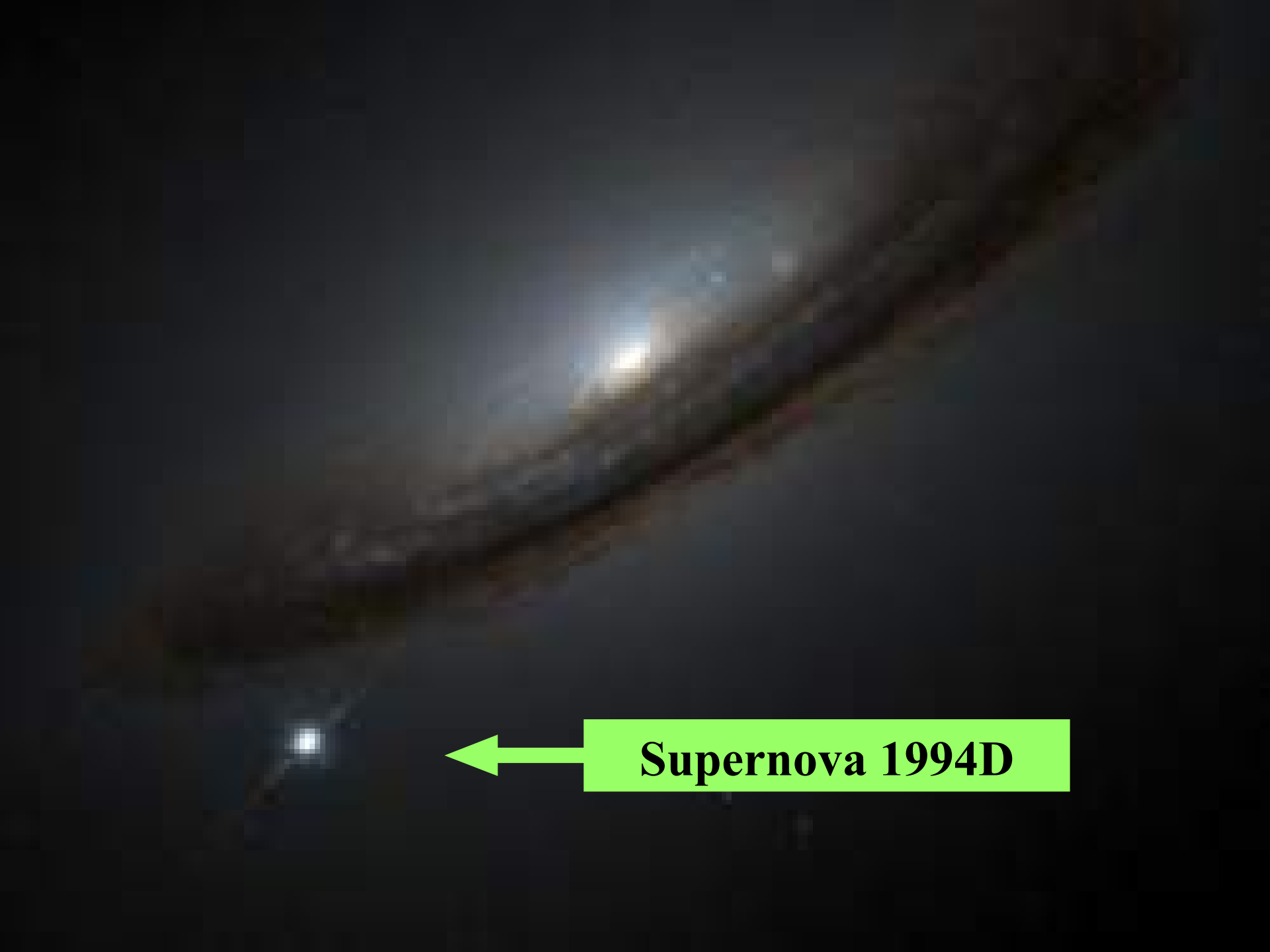
# Supernova tipo II: núcleo colapsante



# Producción de elementos más pesados que el hierro

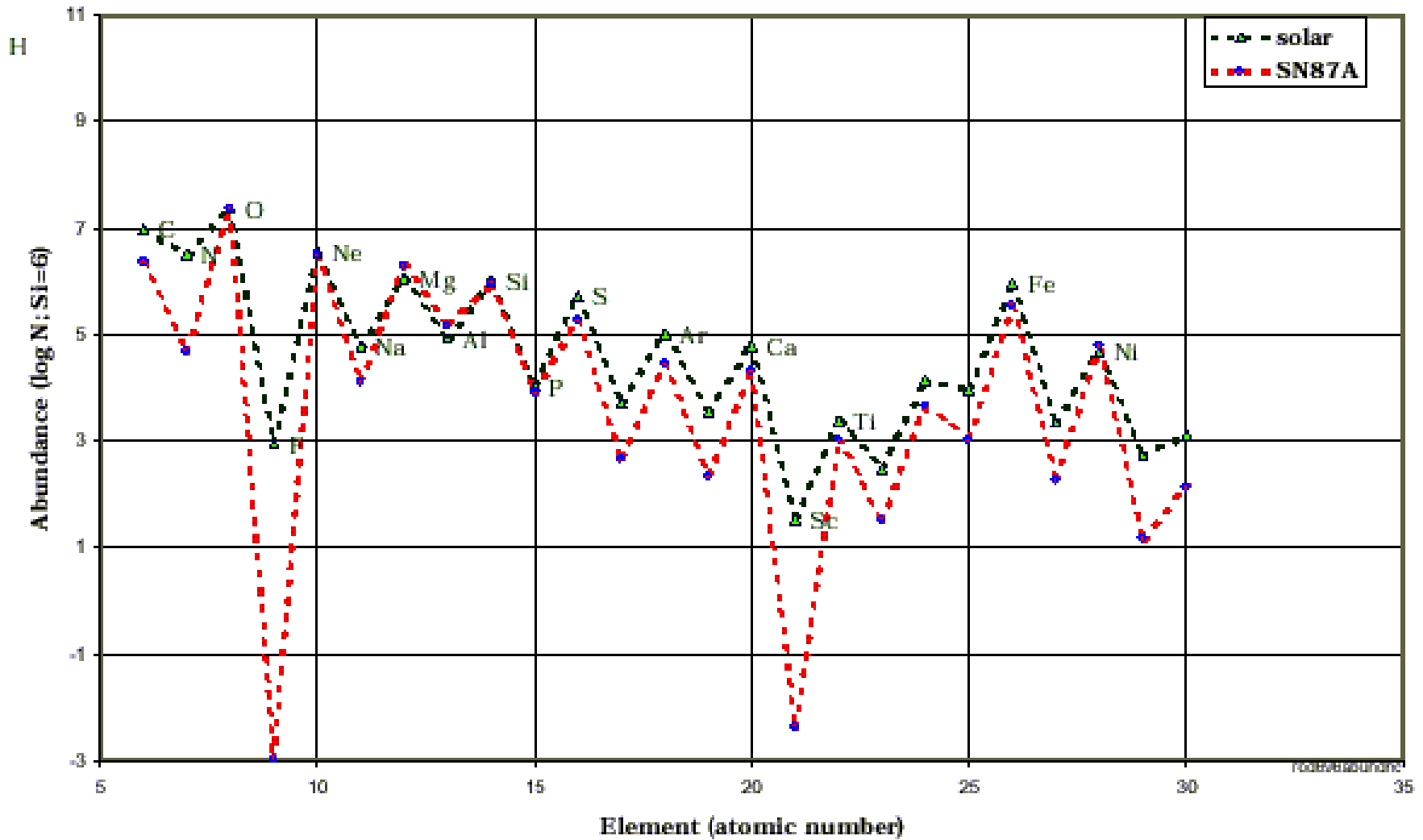


- Proceso s:  $(n, \gamma) < \beta^-$
- Proceso r:  $(n, \gamma) > \beta^-$



**Supernova 1994D**

# Abundancia del sistema solar ~ eyección de supernova de 25 M<sub>⊙</sub>



# Síntesis de la nucleosíntesis

PERIODIC CHART OF THE ELEMENTS

*Big Bang*

IA	IIA	IIIB	IVB	VB	VIB	VIB	VIII	IB	IIB	IIIA	IYA	VA	VIA	VIIA	VIIIA	VIIIA	
1 H 1.00794															1 H 1.00794	2 He 4.00260	
3 Li 6.941	4 Be 9.0122											5 B 10.811	6 C 12.0112	7 N 14.0064	8 O 15.9994	9 F 18.9984	10 Ne 20.183
11 Na 22.98977	12 Mg 24.304											13 Al 26.98154	14 Si 28.0855	15 P 30.97376	16 S 32.064	17 Cl 35.453	18 Ar 39.948
19 K 39.0983	20 Ca 40.078	21 Sc 44.9559	22 Ti 47.88	23 V 50.9415	24 Cr 51.9961	25 Mn 54.9380	26 Fe 55.847	27 Co 58.9332	28 Ni 58.71	29 Cu 63.546	30 Zn 65.37	31 Ga 69.723	32 Ge 72.630	33 As 74.9216	34 Se 78.96	35 Br 79.904	36 Kr 83.80
37 Rb 85.4678	38 Sr 87.62	39 Y 88.9058	40 Zr 91.224	41 Nb 92.9064	42 Mo 95.94	43 Tc (98)	44 Ru 101.07	45 Rh 102.9055	46 Pd 106.42	47 Ag 107.8682	48 Cd 112.411	49 In 114.818	50 Sn 118.710	51 Sb 121.757	52 Te 127.603	53 I 126.905	54 Xe 131.29
55 Cs 132.9054	56 Ba 137.327	57 La 138.905	72 Hf 178.49	73 Ta 180.948	74 W 183.85	75 Re 186.207	76 Os 190.23	77 Ir 192.222	78 Pt 195.084	79 Au 196.967	80 Hg 200.59	81 Tl 204.377	82 Pb 207.2	83 Bi 208.980	84 Po [210]	85 At [210]	86 Rn [222]
87 Fr [223]	88 Ra [226]	89 Ac [227]	104 Rf [261]	105 Db [262]	106 Sg [263]	107 Bh [264]	108 Hs [265]	109 Mt [266]	110 ? [267]	111 ? [268]	112 ? [269]						

*estrellas*

Numbers in parenthesis are mass numbers of most stable or most common isotopes.

Atomic weights corrected to conform to the 1963 values of the Commission on Atomic Weights.

The group designations listed here are the former Chemical Abstract Service numbers.

\* Lanthanide Series

58	59	60	61	62	63	64	65	66	67	68	69	70	71
Ce	Pr	Nd	Pm	Sm	Eu	Gd	Tb	Dy	Ho	Er	Tm	Yb	Lu
140.12	140.907	144.24	(147)	150.35	151.96	157.25	158.925	162.50	164.930	167.26	168.934	173.04	174.967

† Actinide Series

88	89	90	91	92	93	94	95	96	97	98	99	100	101	102	103
Th	Pa	U	Np	Pu	Am	Cm	Bk	Cf	Es	Fm	Md	No	Lr		
232.0377	(231)	238.0289	(237)	(242)	(243)	(244)	(247)	(249)	(251)	(252)	(257)	(259)	(261)	(263)	(264)

**Supernovas**

# astrofísica nuclear experimental



reacciones nucleares a muy bajas energías (centenas de keV)



medición de secciones eficaces en extremo pequeñas (decenas de pico-barn!)

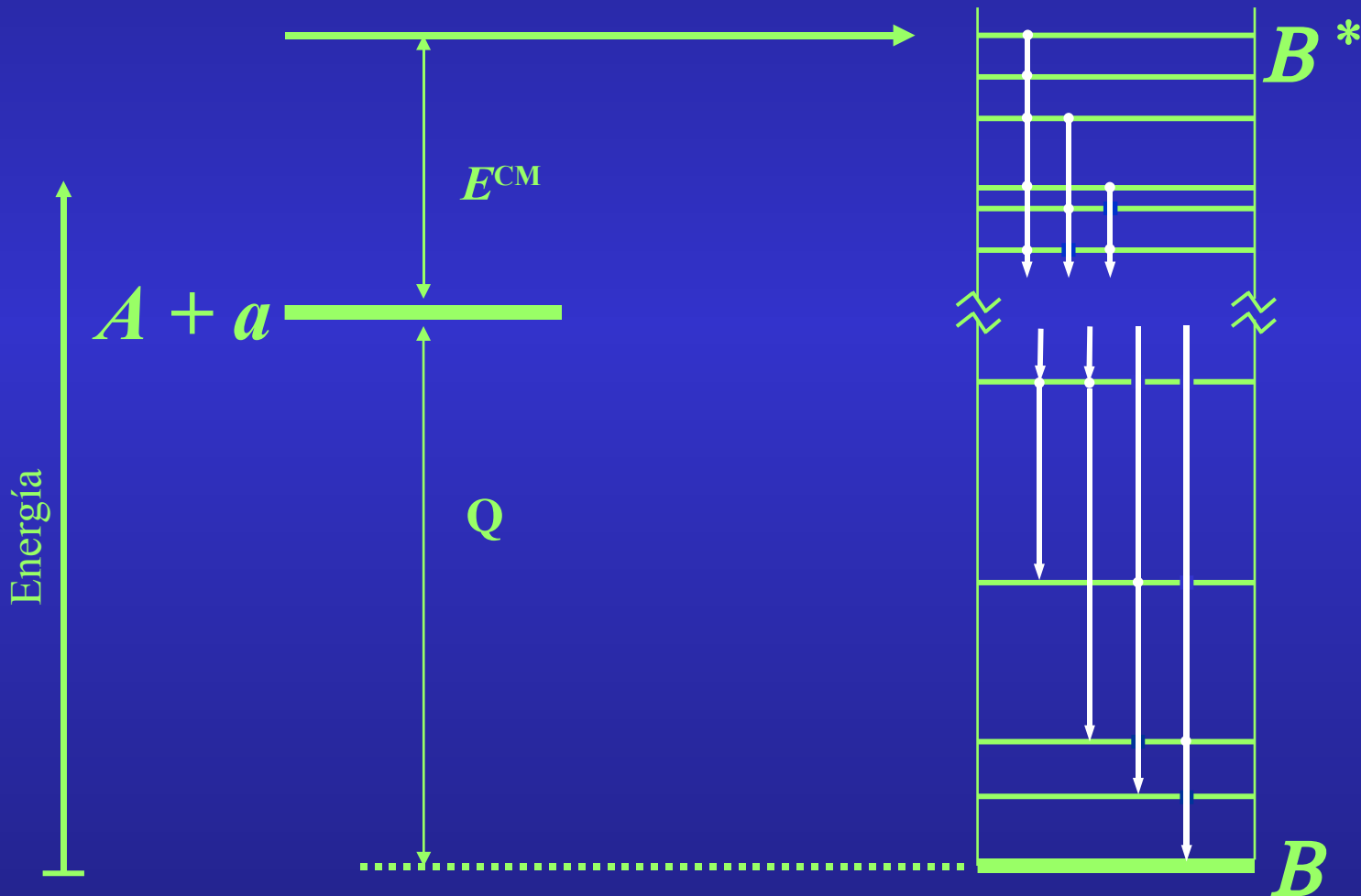
## Métodos de medición

- Detección *on-line* de rayos  $\gamma$
- Método integrado midiendo la actividad  $\gamma$
- Método integrado contando átomos con AMS
- Análisis de las partículas de retroceso
- Reacciones con haces radioactivos
- Actividad de material terrestre
- Actividad de material extraterrestre
- Caballo de Troya

# Detección *on-line* de rayos $\gamma$



# Detección *on-line* de rayos $\gamma$





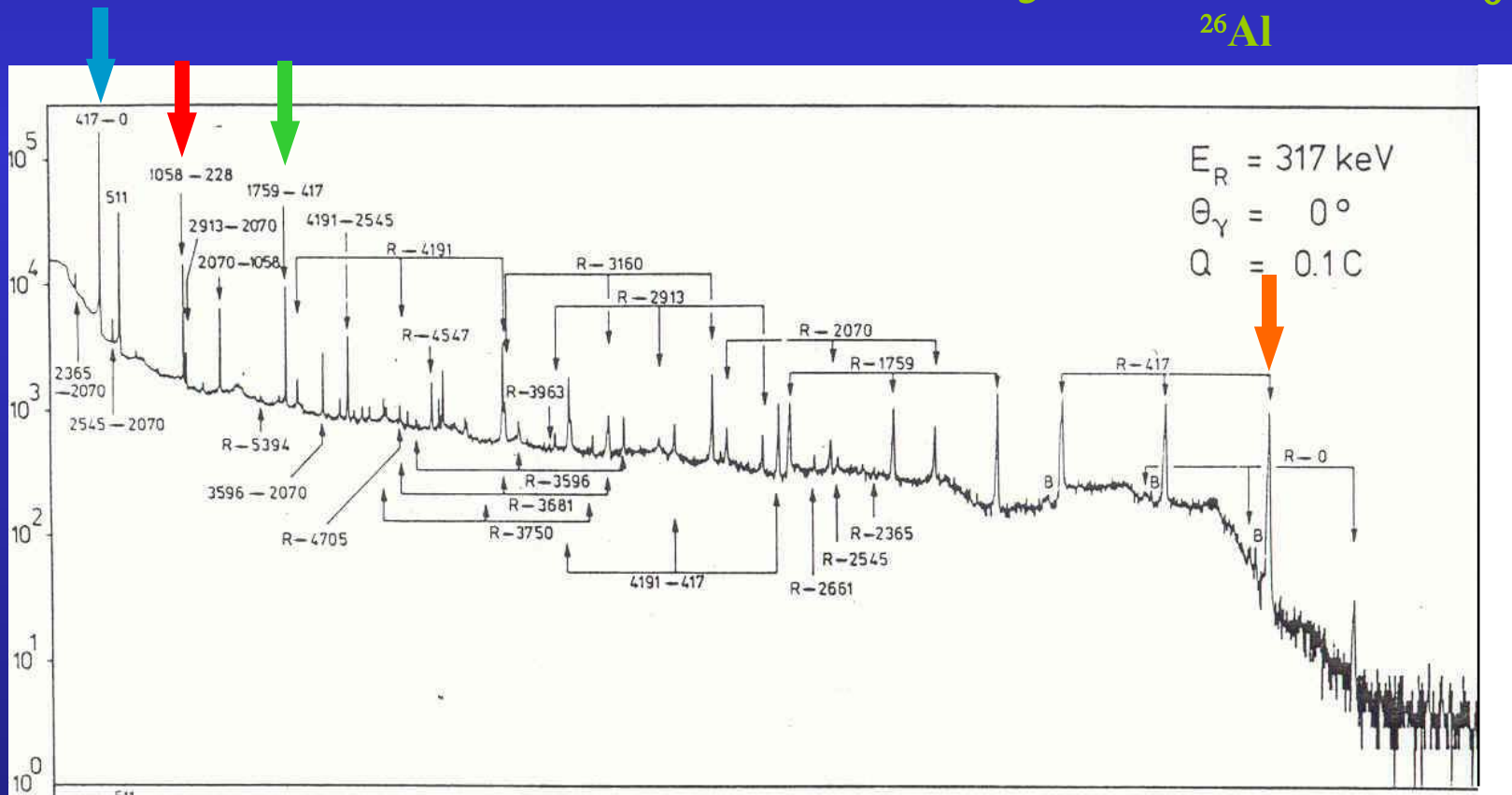
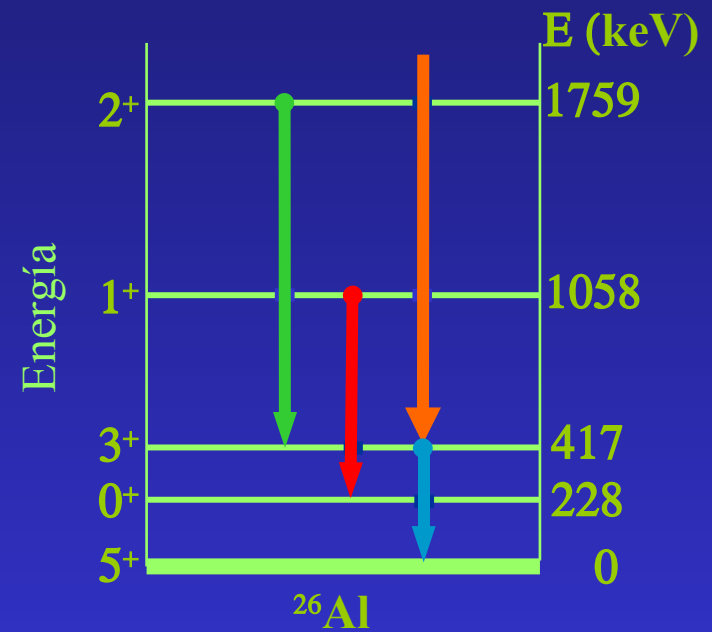
# Detección *on-line* de rayos $\gamma$

$E_j$ :

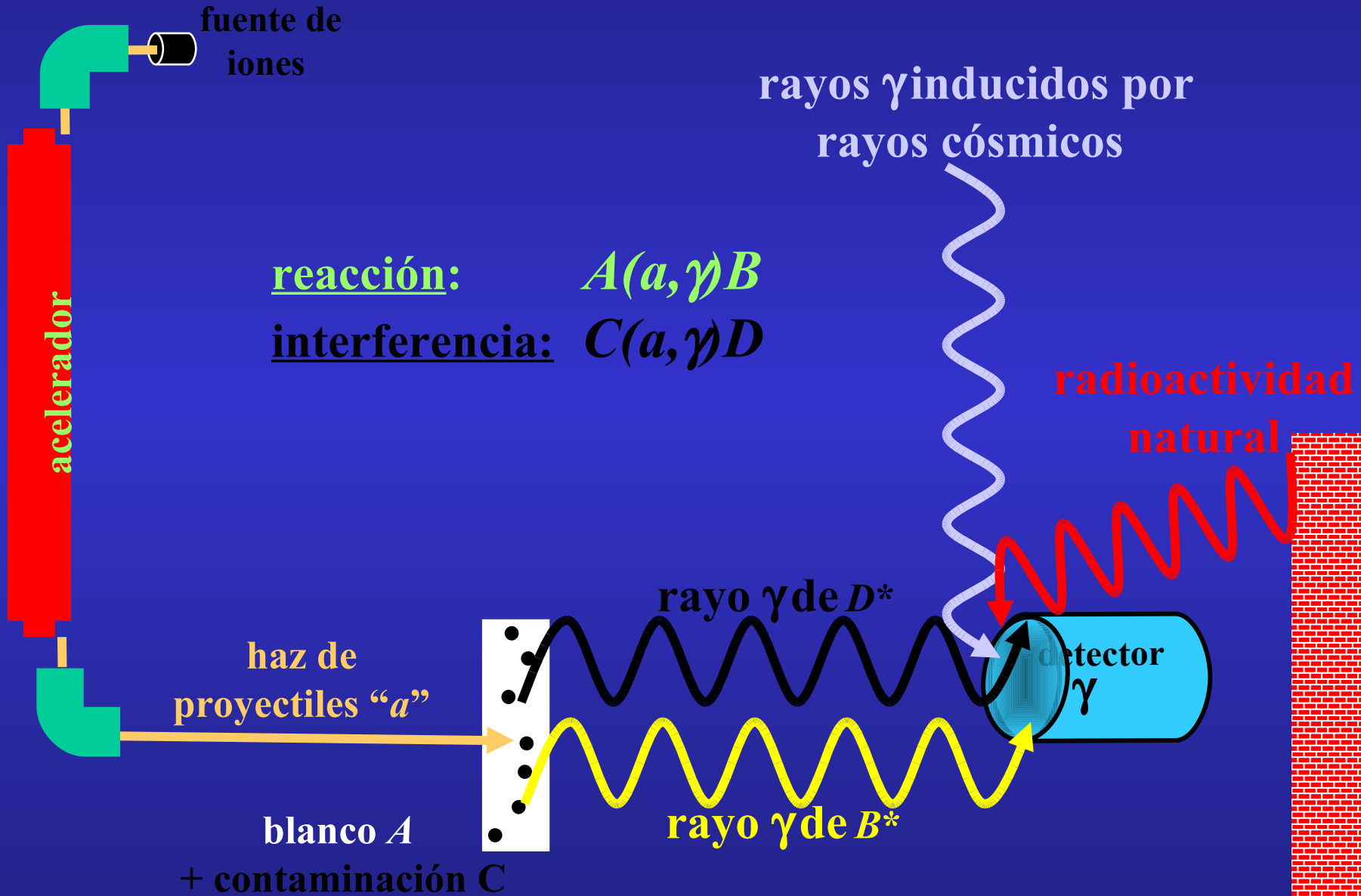
$^{25}\text{Mg}(p,\gamma)^{26}\text{Al}$

$E_R^{\text{lab}} = 317 \text{ keV}$

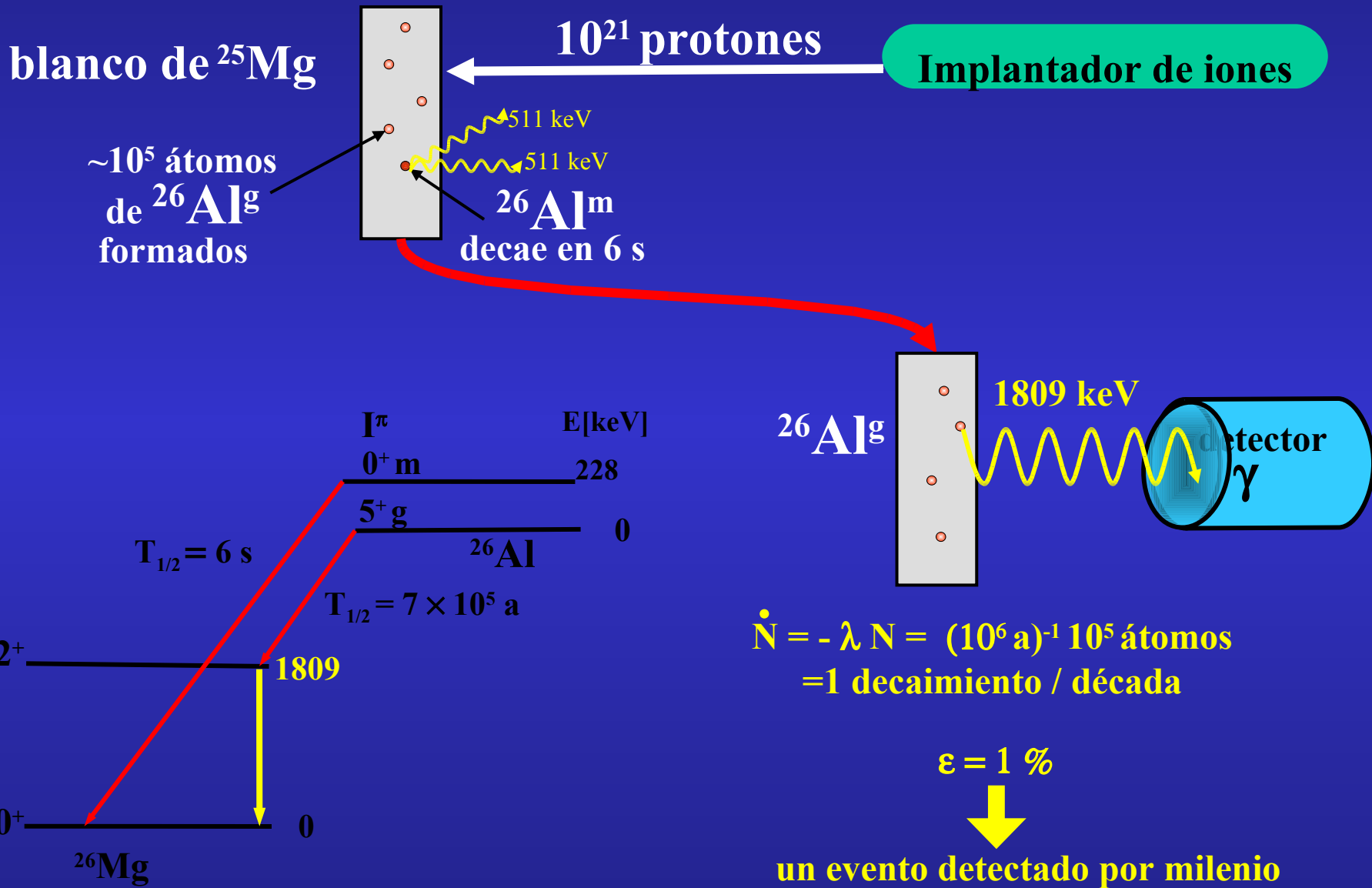
$E_x = 6610 \text{ keV}$



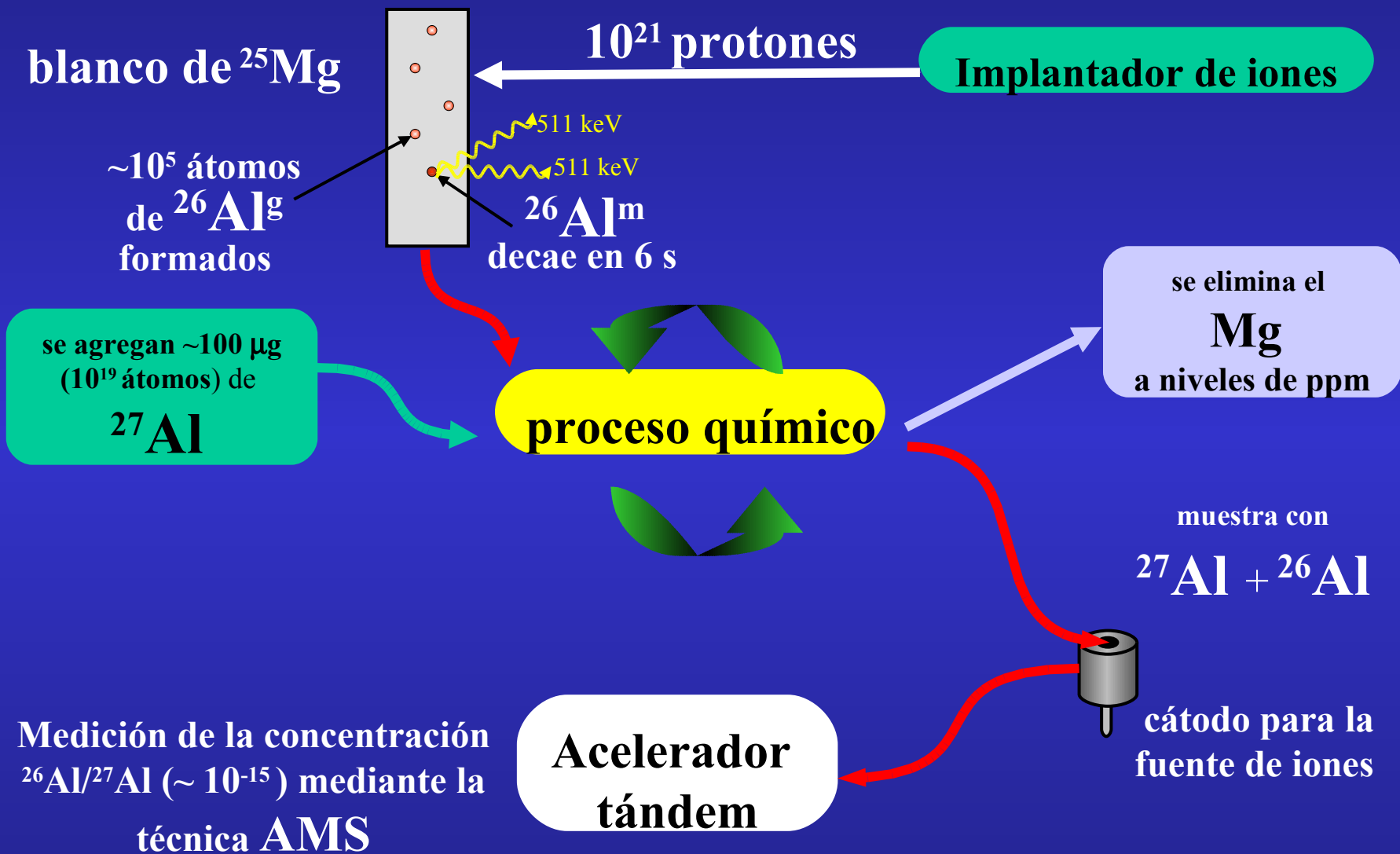
# Detección *on-line* de rayos $\gamma$



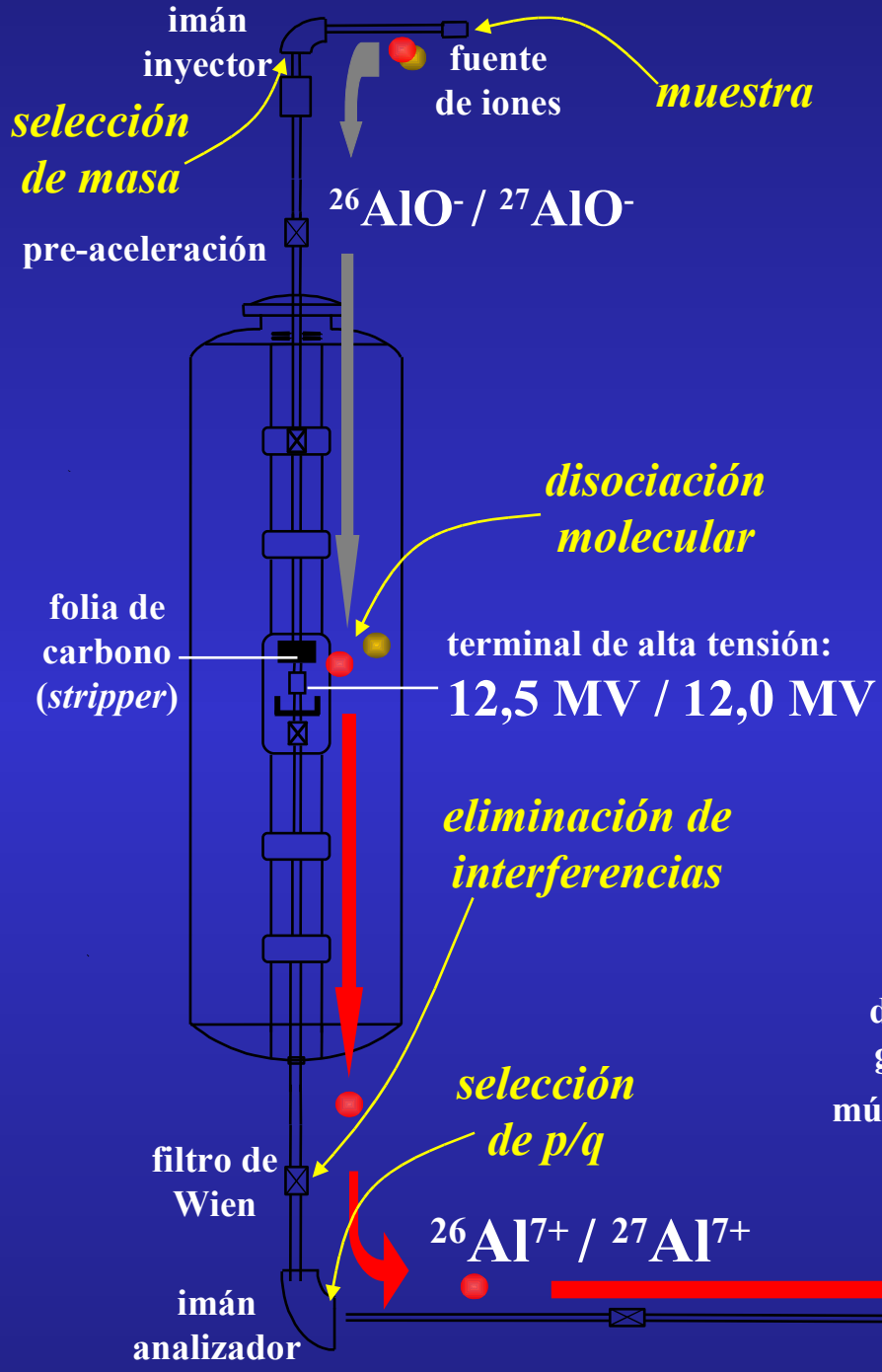
# Método integrado midiendo la actividad $\gamma$



# Método integrado contando átomos con AMS

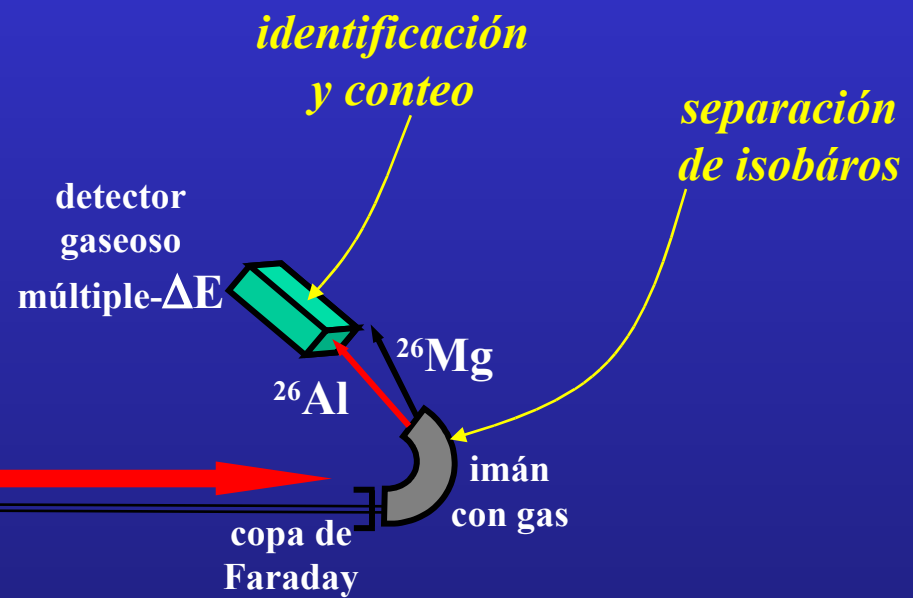


# Conteo de átomos mediante Espectrometría de Masas con Aceleradores (AMS)

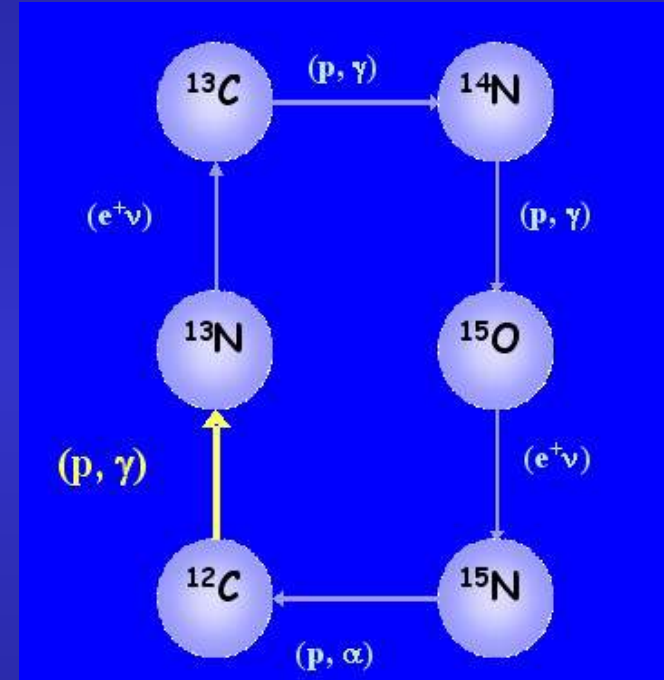
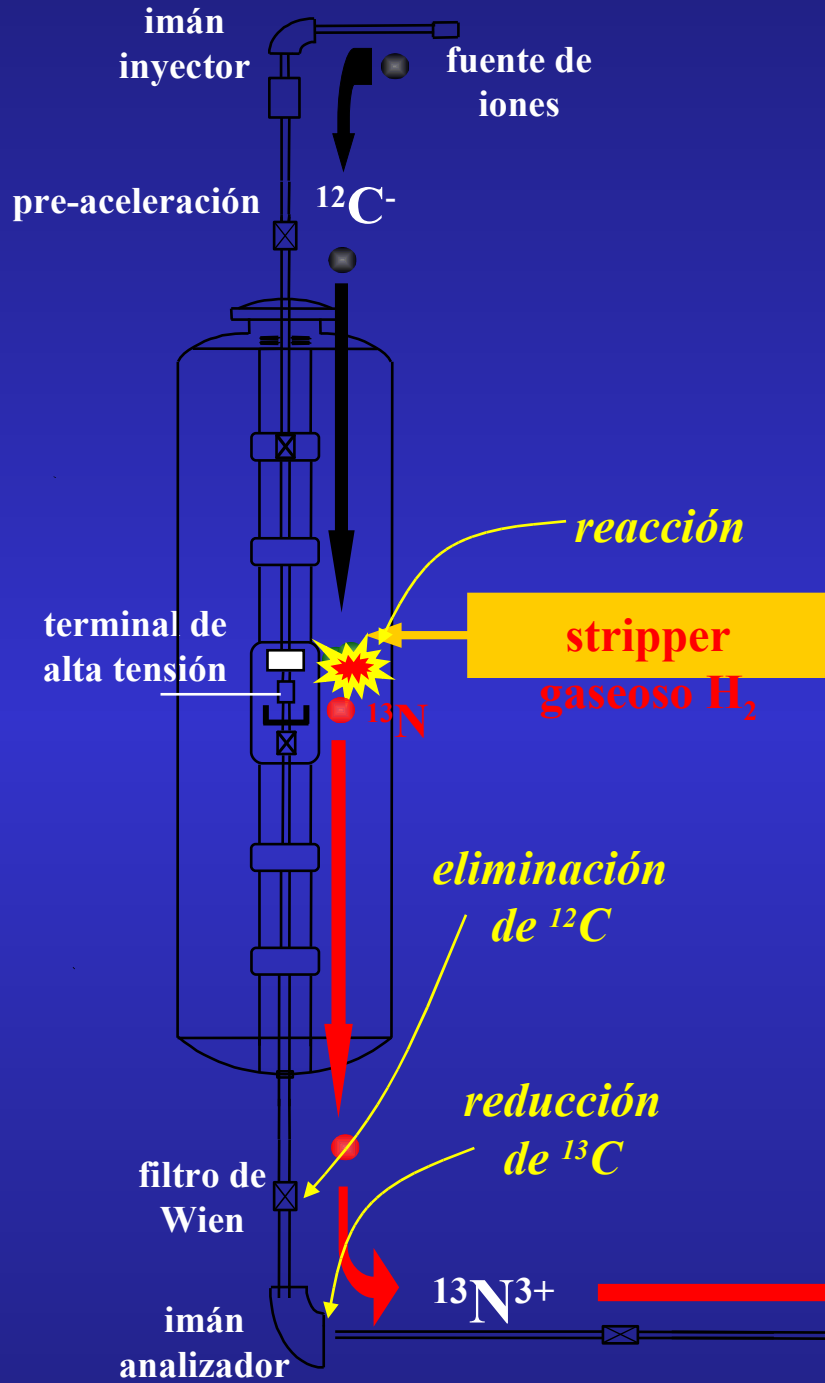


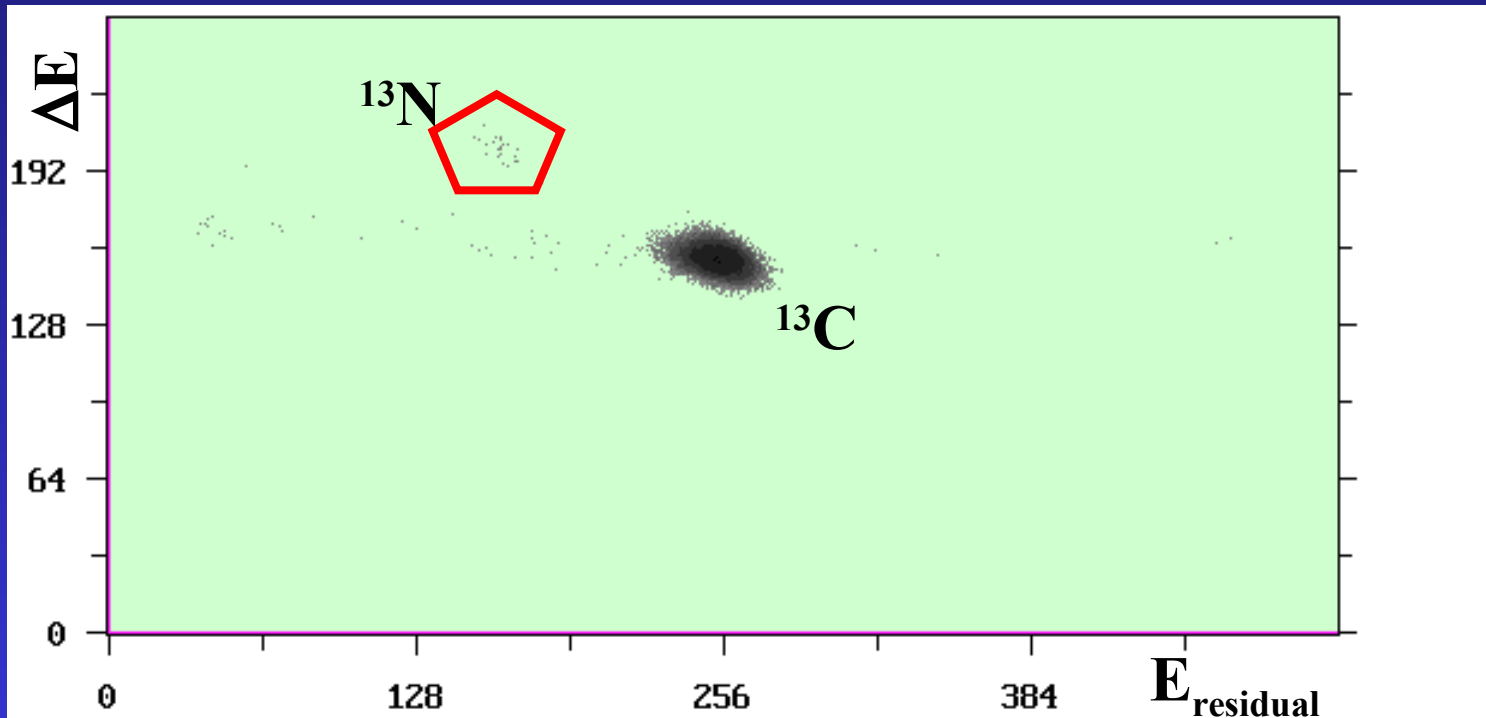
Concentración =  $\frac{\text{eventos de } ^{26}\text{Al} \text{ en el detector}}{^{27}\text{Al en FC } (\mu\text{A} \times 1 \text{ hora})}$

$\Rightarrow C = ^{26}\text{Al}/^{27}\text{Al} \sim 10^{-15}$



# $^1\text{H}(^{12}\text{C},\gamma)^{13}\text{N}$ en stripper y análisis de la partícula de retroceso





**reacción en cinemática inversa:**

- **reacción a baja energía**

$$E(^{12}\text{C}) = 2,7 \text{ MeV} \leftrightarrow E^{\text{CM}} = 206 \text{ keV}$$

- **alta energía para la discriminación**

# Origen de los núcleos $\geq {}^{12}\text{C}$ en el universo

- ~~Nucleosíntesis durante el Big Bang~~

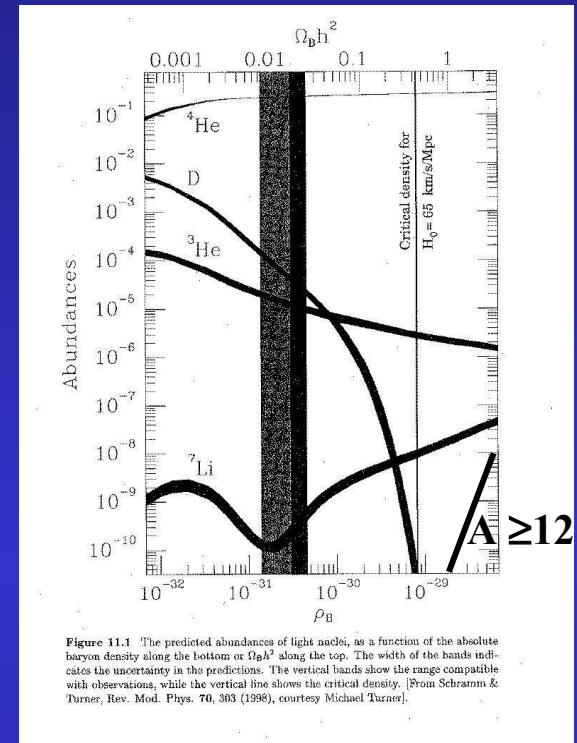
Densidad del universo insuficiente

- Nucleosíntesis estelar

Proceso triple  $\alpha$



¿único proceso?

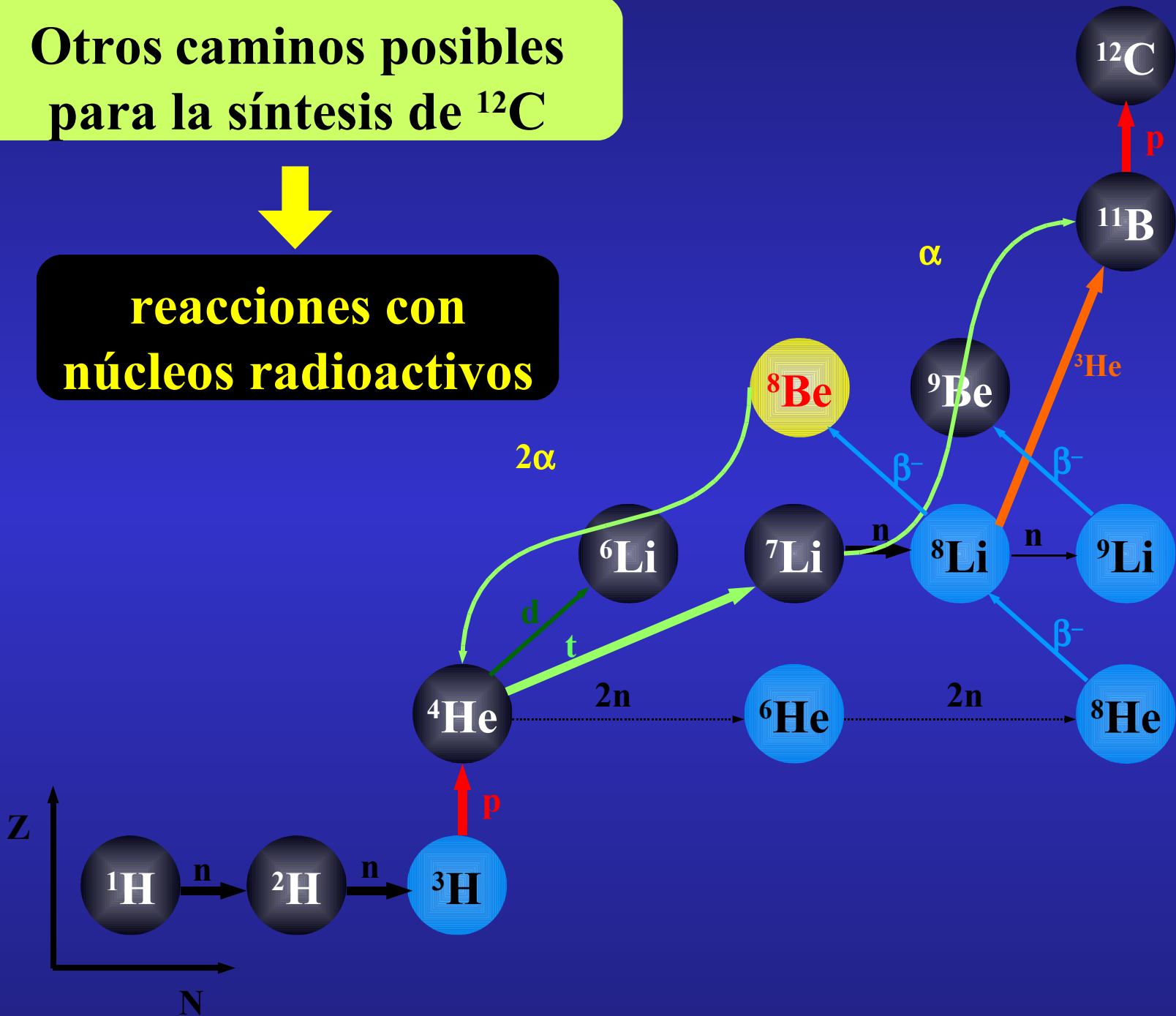




# Otros caminos posibles para la síntesis de $^{12}\text{C}$



reacciones con núcleos radioactivos



# Proyecto RIBRAS (Radioactive Ions Brasil)

## Magnet Specifications:

60 cm coil length

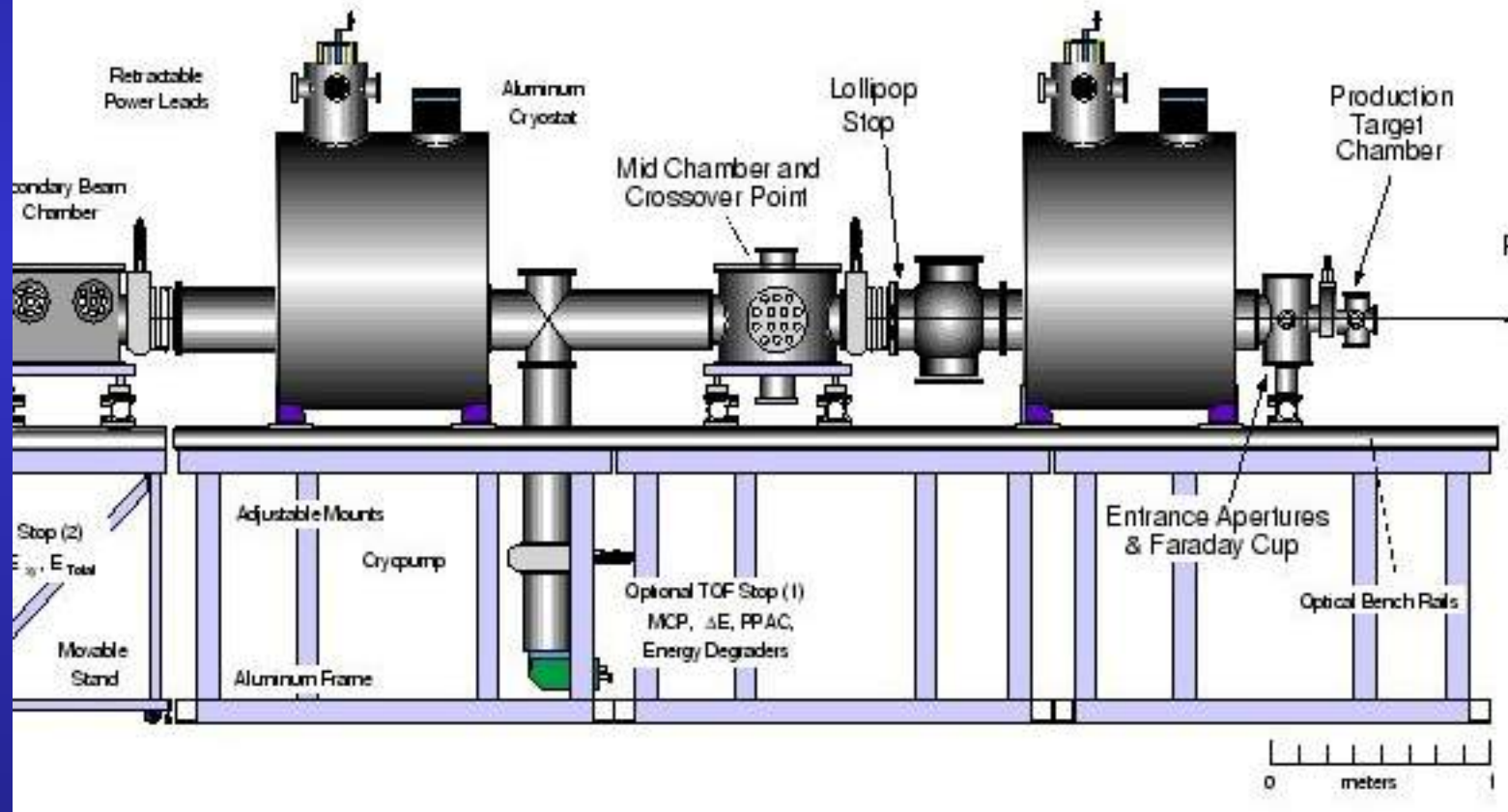
30 cm bore

Max Field: 6 Tesla

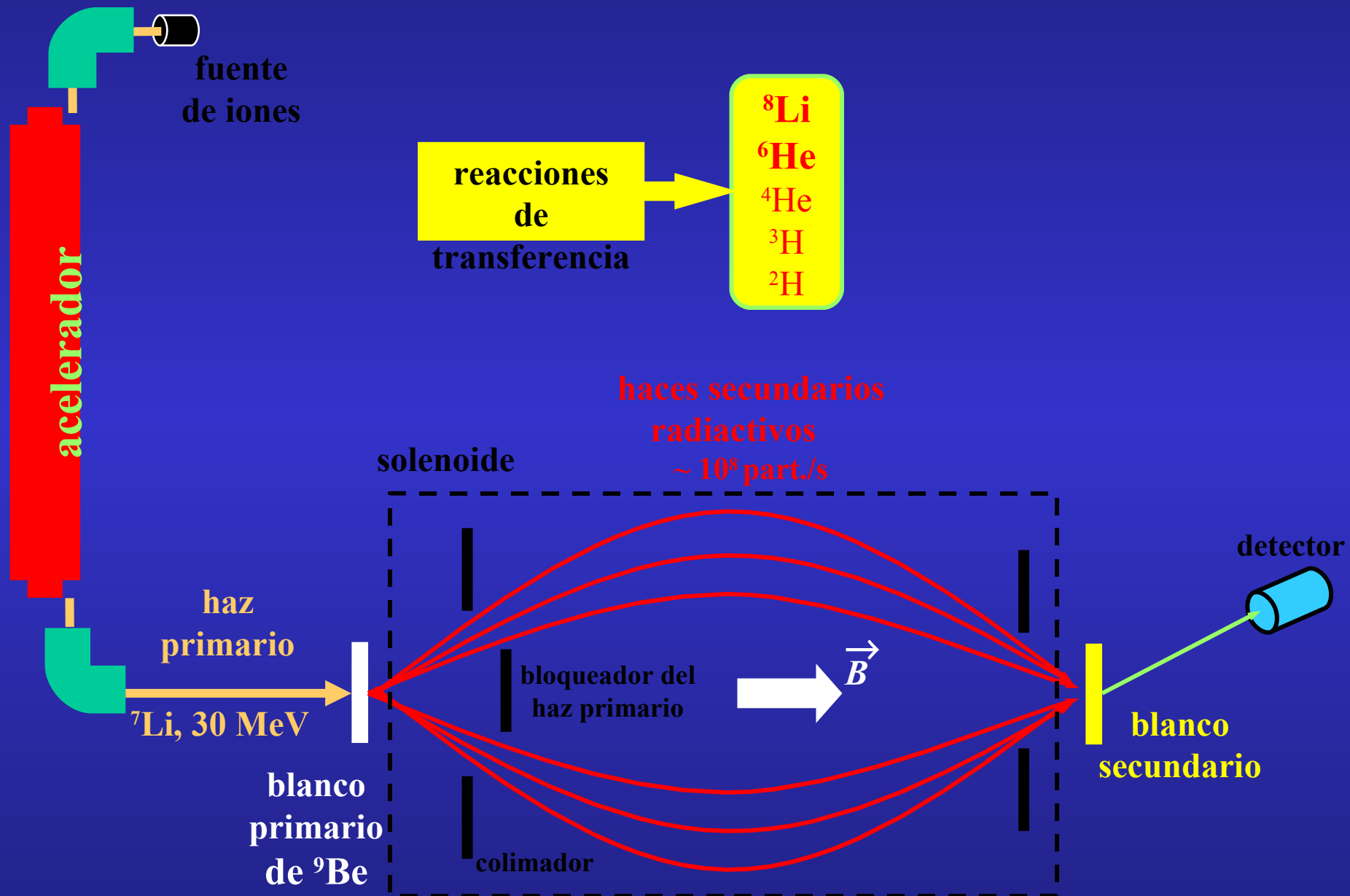
Production Target:  $12 \mu^9\text{Be}$  foil

$^7\text{Li}(^9\text{Be}, ^8\text{Li})^8\text{Be}$

$^7\text{Li}(^9\text{Be}, ^6\text{He})^{10}\text{B}$

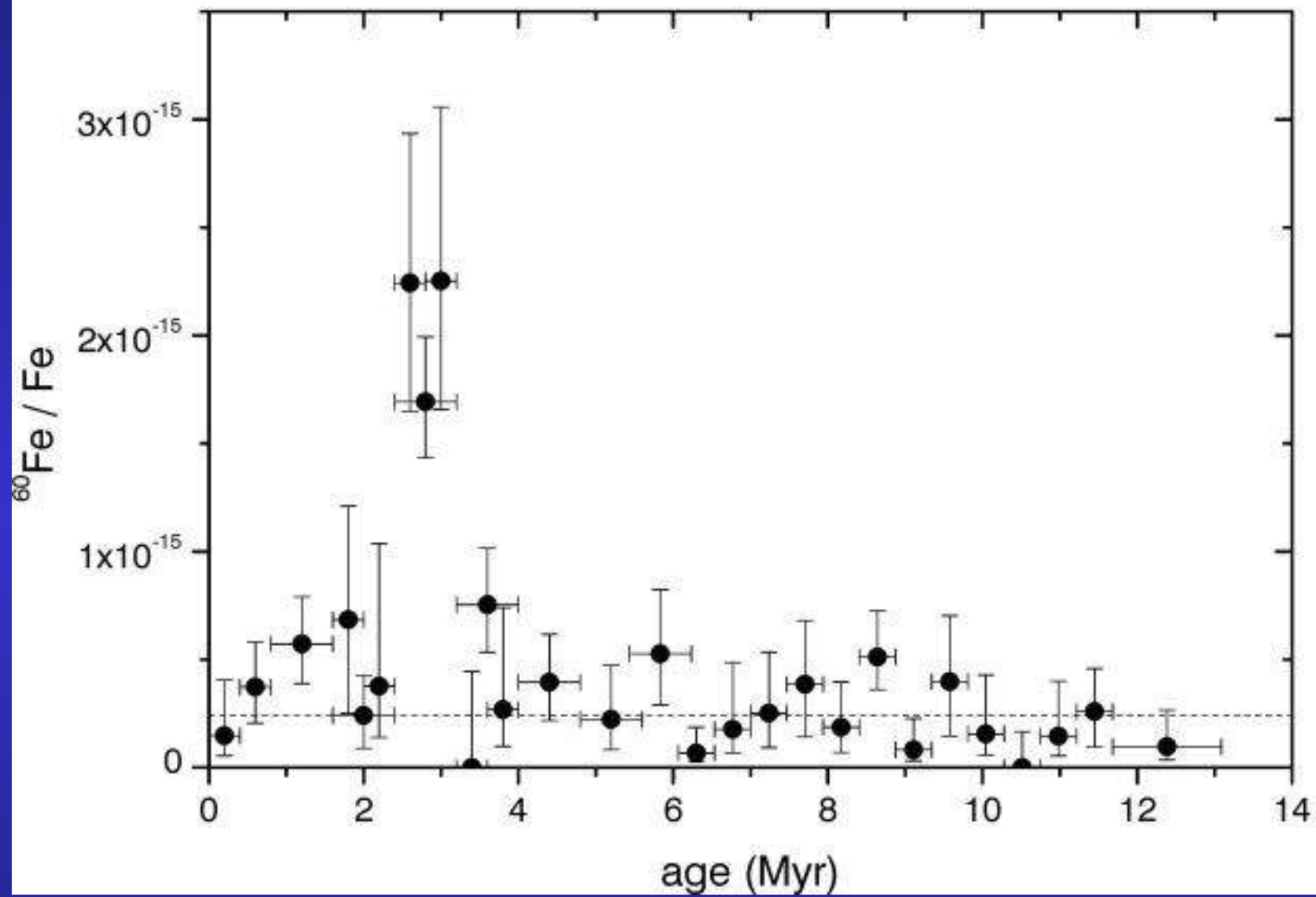


# Reacciones con haces radiactivos



**Radioactividad en la Tierra:  
 $^{60}\text{Fe}$  producido en una Supernova cercana**





# Radionucleidos en el Meteorito acondrito de Río IV



# Viaje en el Espacio



asteroides, meteoroides  
(cuerpo madre)



meteoros cruzando  
la órbita terrestre



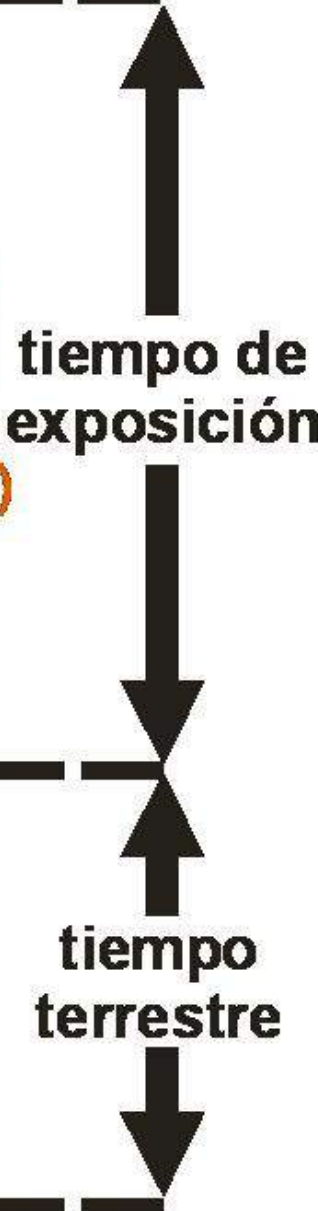
meteoroides capturados  
por la Tierra



Laboratorio



**RAYOS CÓSMICOS**  
(induce reacciones  
nucleares en el  
cuerpo del meteorito)



## Producción de radionucleidos

$$P_j(R, d) = \sum_{i=1}^{\infty} c_i \frac{N_A}{A_i} \sum_{k=1}^{\infty} \int_0^{\infty} \sigma_{j,i,k}(E) \times J_k(E, R, d) dE$$

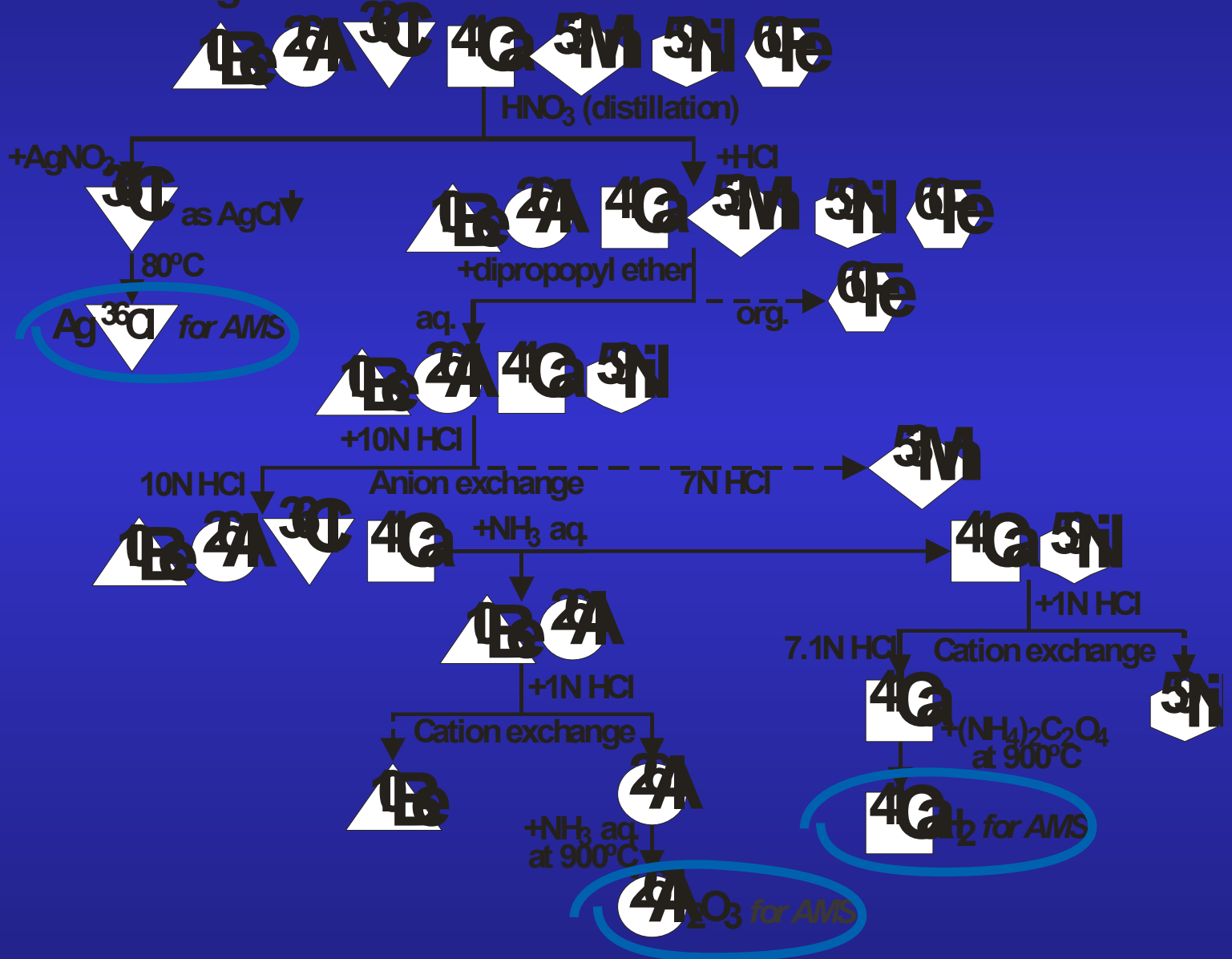
## Decaimiento en la Tierra

$$A_j(t) = P_j(R, d) e^{-\lambda_j t}$$

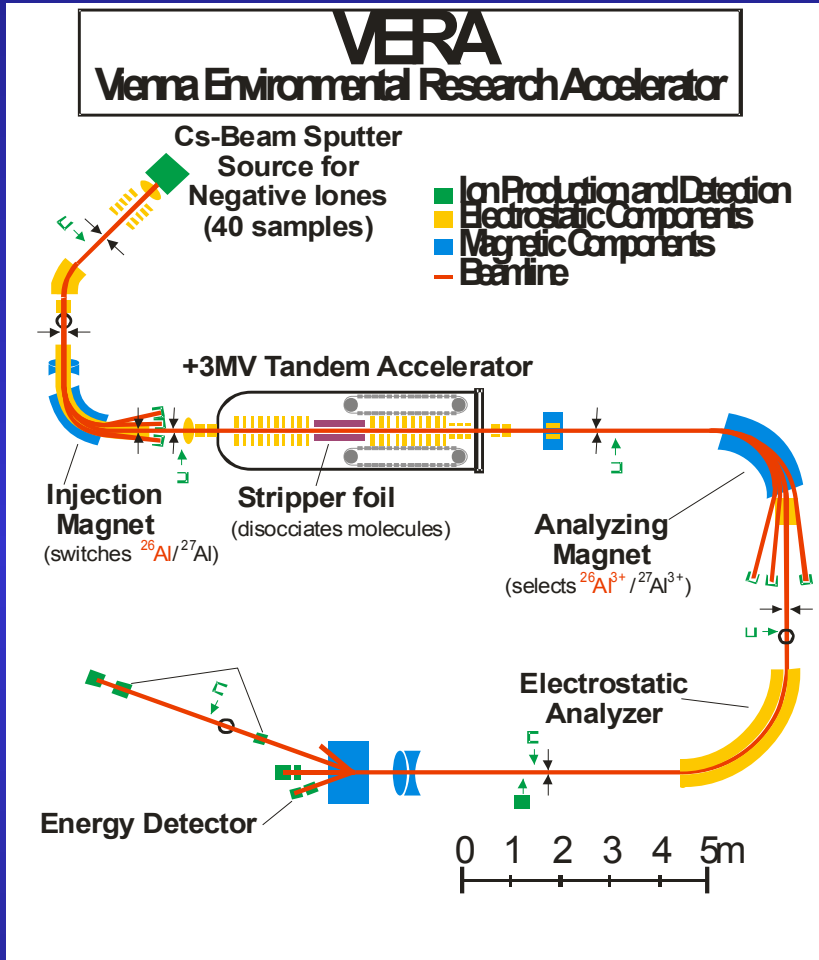


# Separación química de elementos

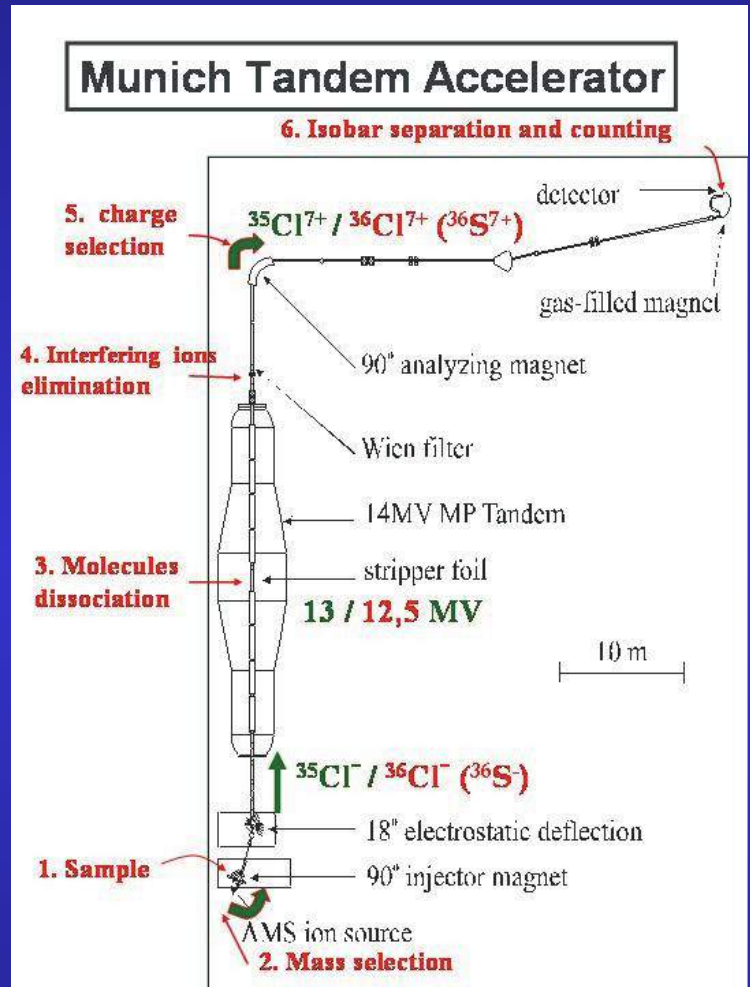
2 mg de muestra de meteorito acondrito terrorrocoso



# Conteo de átomos con AMS



$^{26}\text{Al}/^{27}\text{Al} \sim 10^{-11}$



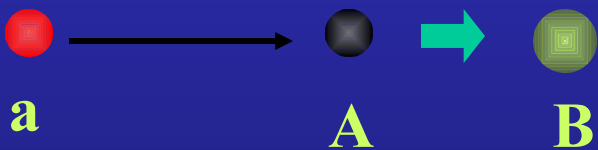
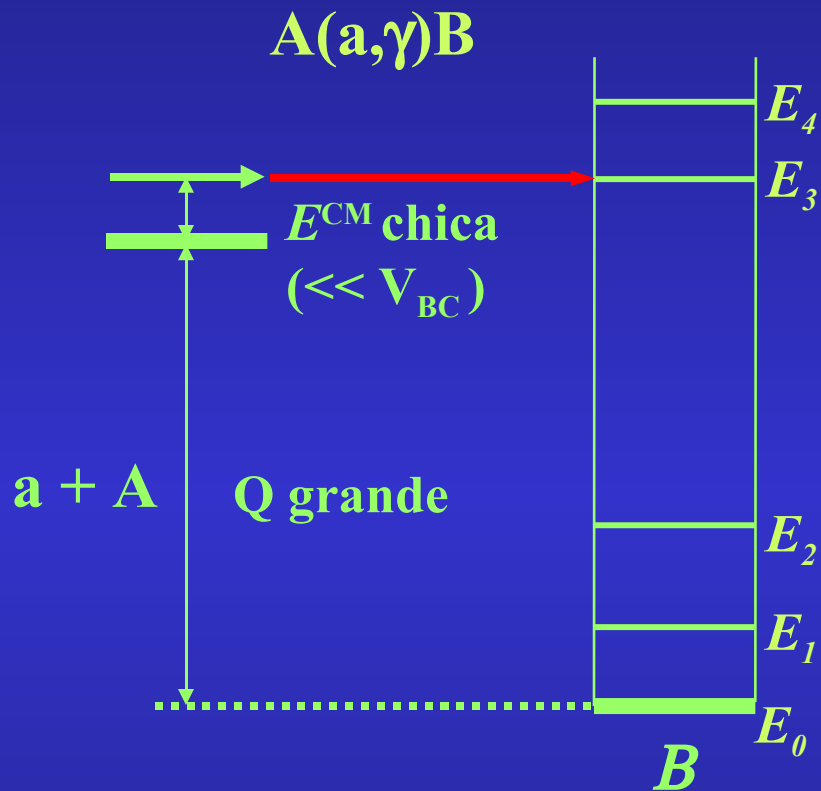
$^{36}\text{Cl} / \text{Cl} \sim 10^{-11}$   
 $^{41}\text{Ca} / \text{Ca} \sim 10^{-13}$

## Resultados

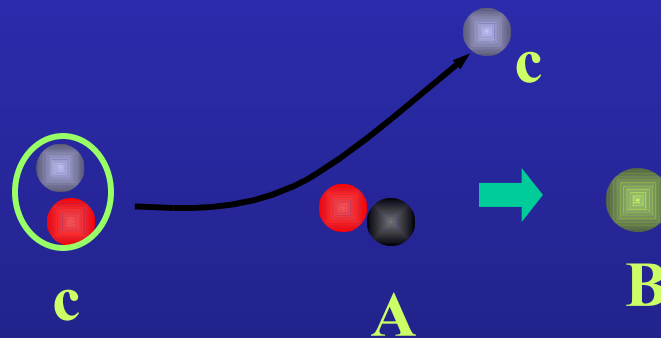
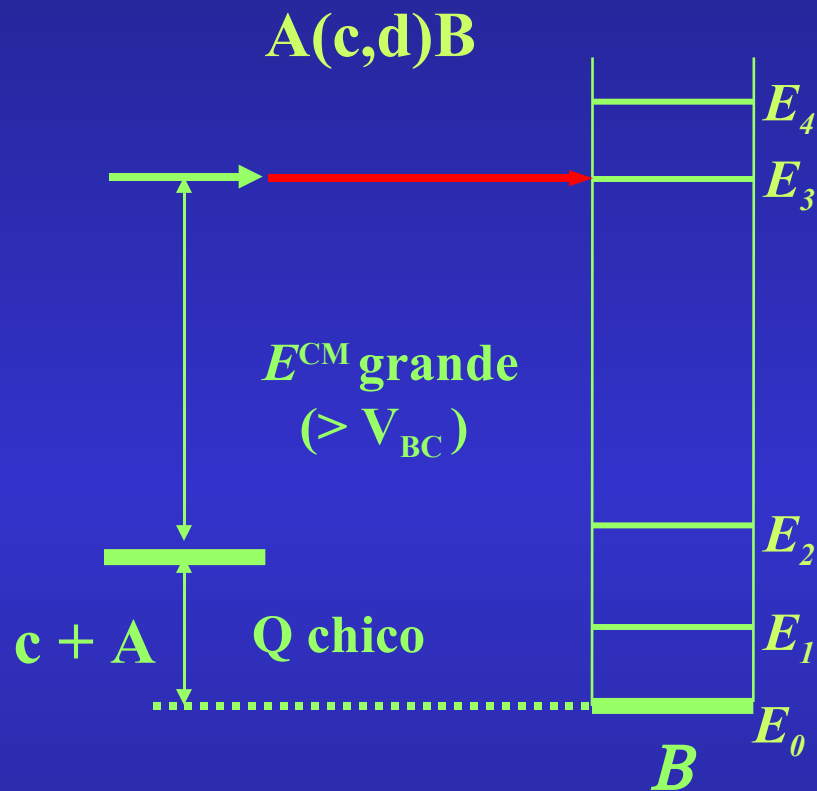
- Radio preatmosférico: 50 – 60 cm
- Posición de la muestra: 28 – 37 cm
- Edad terrestre 260 – 310 ka

# Caballo de Troya

Reacción de interés

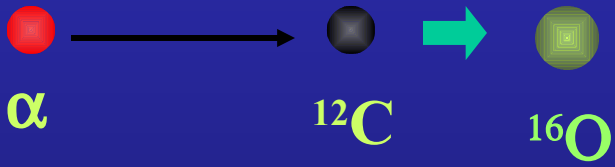
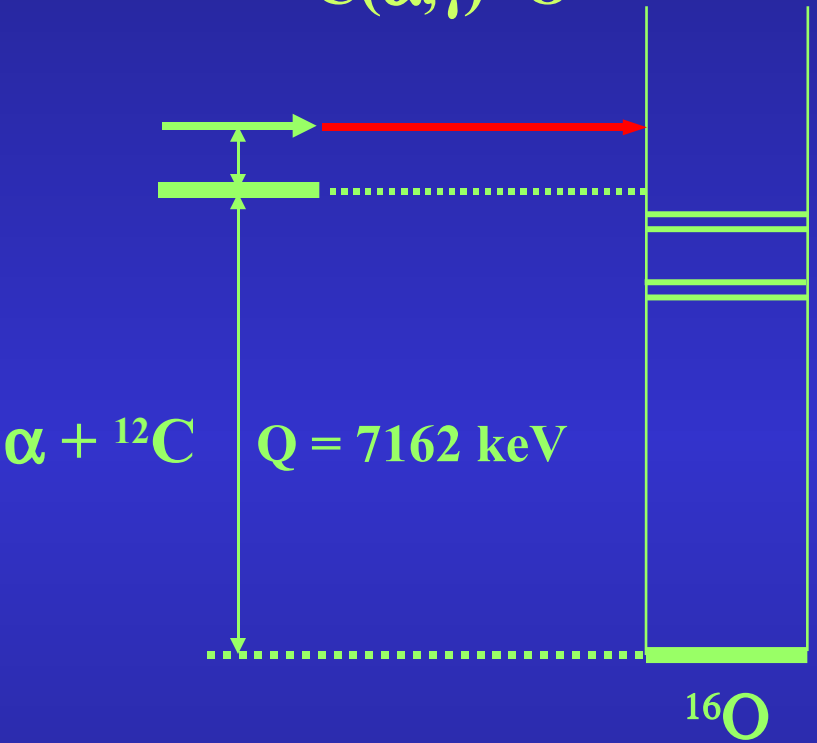


Reacción sustituta

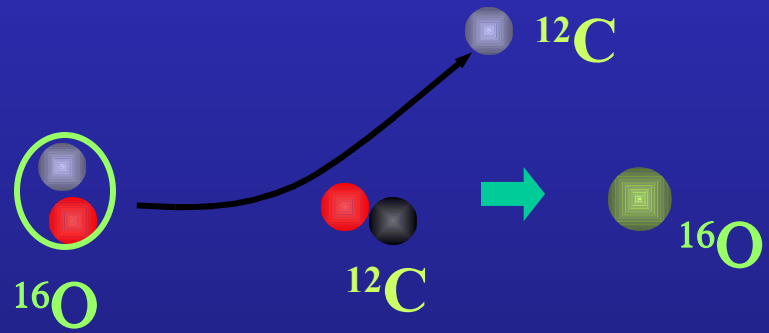
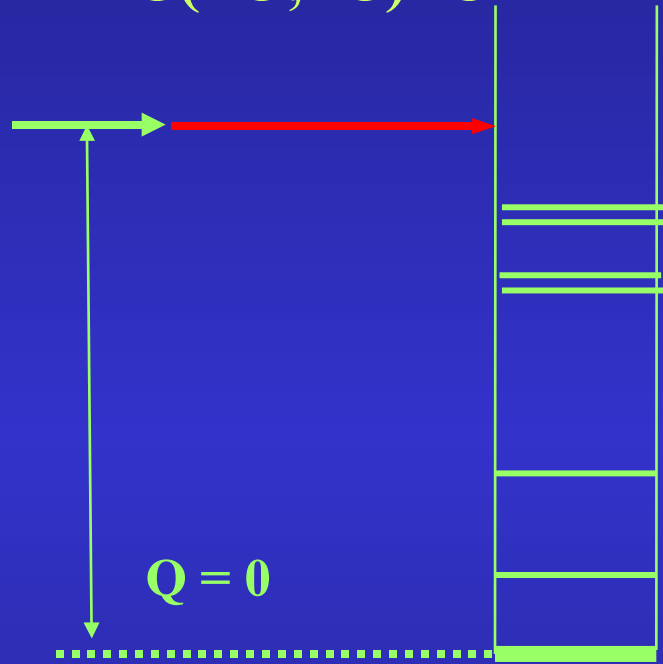


# Reacción de $\alpha + {}^{12}\text{C}$ en gigantes rojas

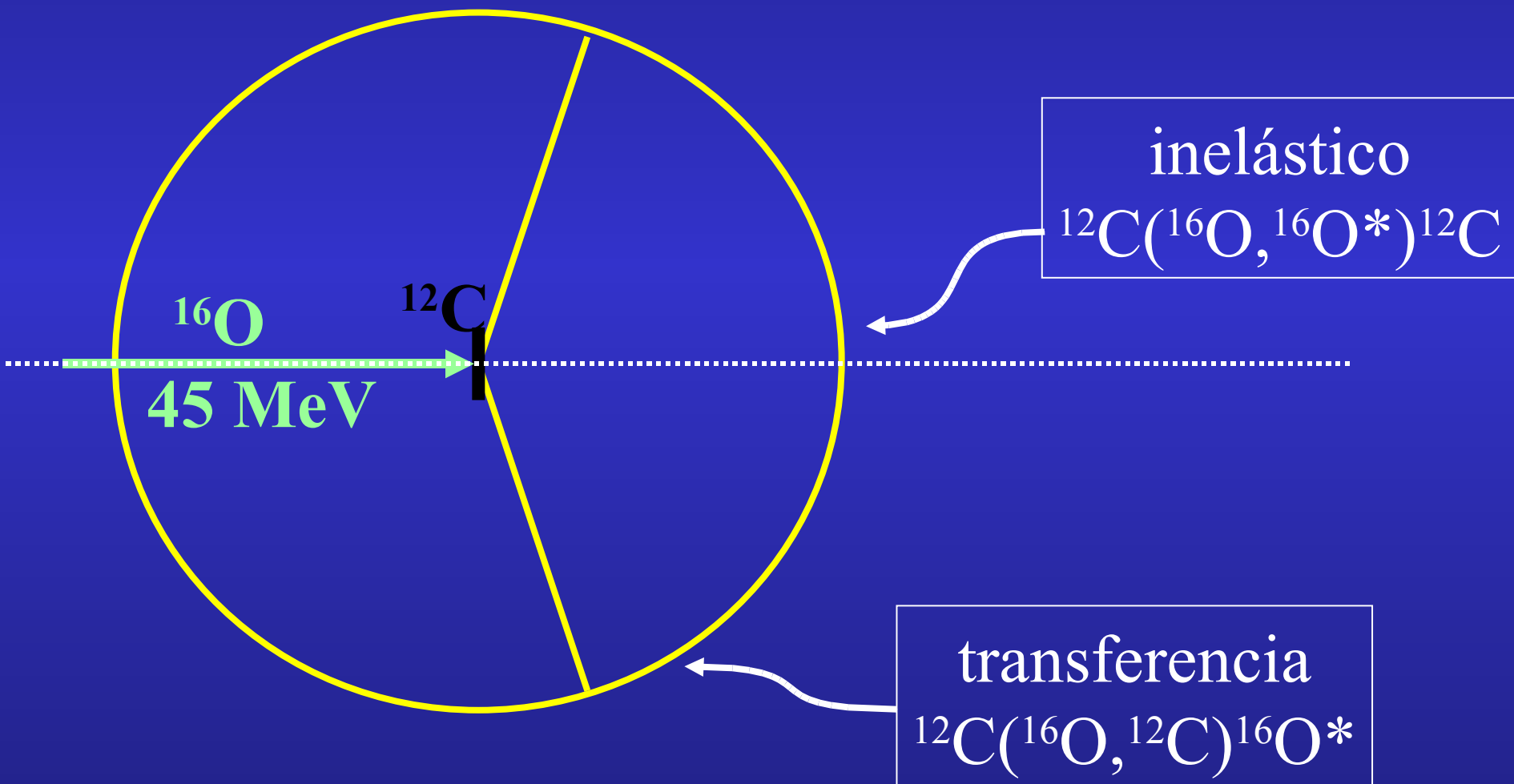
Reacción de interés



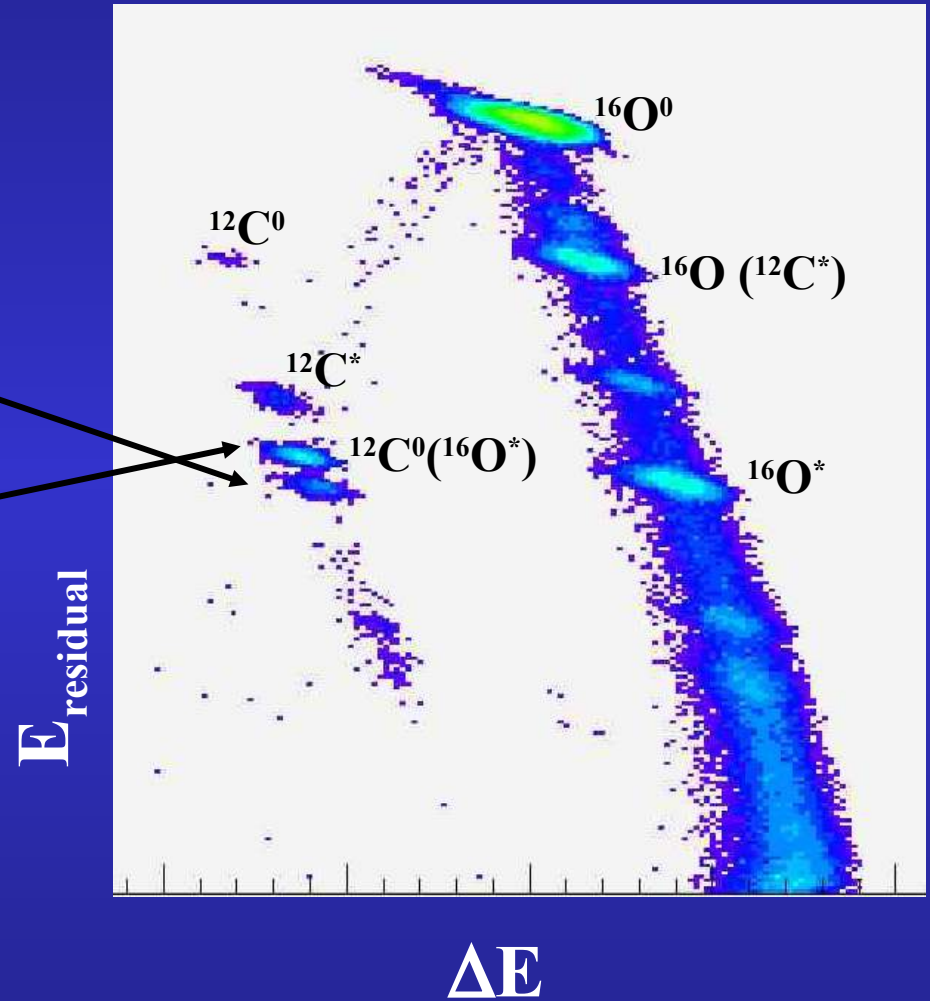
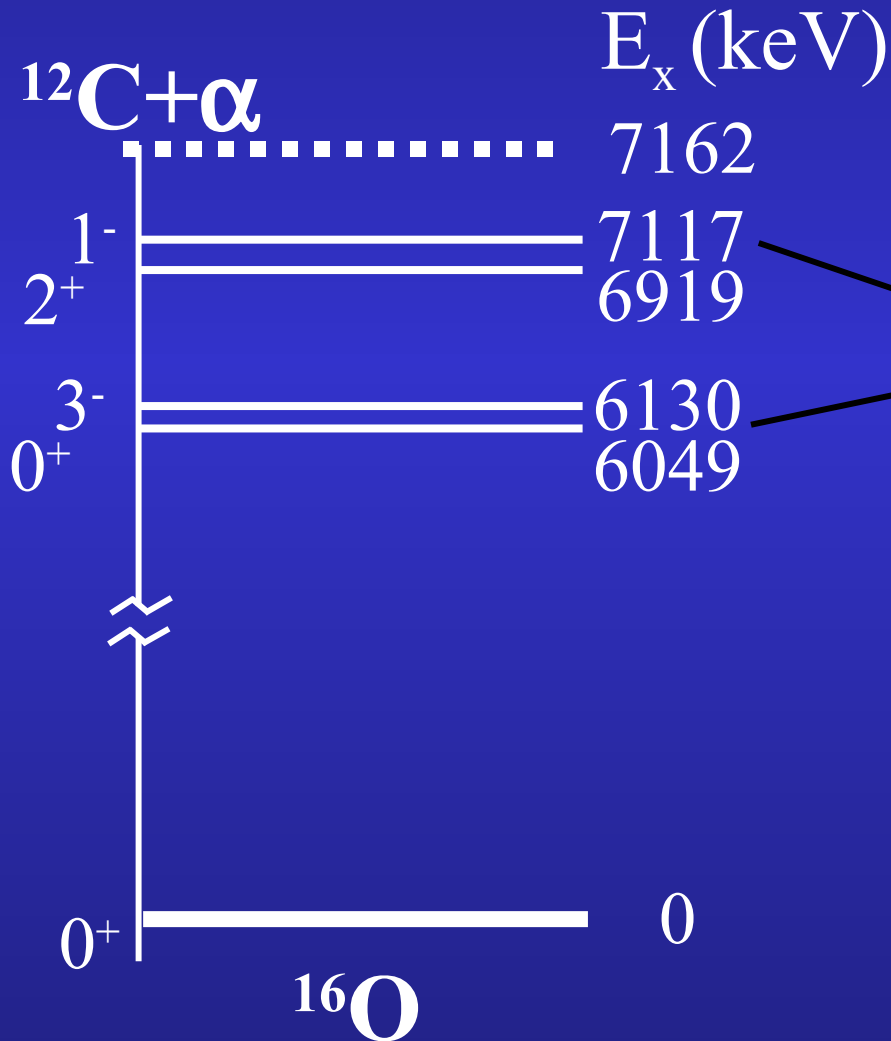
Reacción sustituta



# Transferencia de alfa y determinación de factores espectroscópicos subumbrales del proceso $\alpha + {}^{12}\text{C}$ de interés astrofísico



# Factores espectroscópicos subumbrales del proceso $\alpha + {}^{12}\text{C}$



# Agradecimientos a Colaboradores

## Grupo de Física de Iones Pesados y Espectrometría de Masas con Aceleradores (FIPEMA), TANDAR, CNEA:

Ezequiel de Barberá

Oscar Capurro

María Angélica Cardona

Patricio Carnelli

Jorge Fernández Niello

Juan Manuel Figueira

Leticia Fimiani

Patricio Grinberg

Daniel Hojman

Guillermo Martí

Diego Martínez Heimann

Pablo Montero

Agustín Negri

Alberto Pacheco

Jorge Testoni

## Unidad de Actividad Química, CNEA

Ana María La Gamma

## (ex) Física Teórica, CNEA

Claudio Simeone



**Instituto Argentino de  
Física del Espacio**

Jorge Miraglia

María Silvia Gravielle

**Universidade de San Pablo, Brasil:**

Valdir Guimarães

Alinka Lépine Szily

Rubens Lichtentähler

María Carmen Morais

et al.

**Universidade Federal Fluminense,  
Brasil:**

Paulo R. Silveira Gómes

Jesús Lubian

**CEADEN, Cuba:**

Iván Padrón

**Universidade de Viena, Austria:**

Anton Wallner et al.

**Universidade Técnica de Munich,  
Alemania:**

Gunther Korschinek et al.

**Univ. Ludwig Maximilians,**

**Alemania:**

Dagmar Frischke

**Forschungszentrum Rossendorf,**

**Alemania:**

Chavkat Akhmadaliev et al.

**Universidade de Chicago, EE.UU.:**

Jonathan Levine

# Colaboradores de CNEA

## Operadores del acelerador

Norberto Lema  
Carlos Míguez  
Carlos Palacio  
Sergio Milanese

## Fuente de iones

Juan Carlos Donaire  
Omar Profesi

## Vacío y criogenia

Julio Nicolai  
Andrés Fernández Salares  
Juan Carlos Suárez Sandín

## Taller Mecánico

Carlos Farías  
Julio Lafranchi  
Domingo Simoncelli  
Hugo Zárate

## Protección radiológica

Carlos Giménez  
Martín Suárez Gacero

## Blancos

Hugo Grahman  
Gabriel Redelico  
Daniel Rodríguez

## Electrónica

Carlos Bolaños  
Oscar Romanelli  
Juan Carlos Rufino

## Redes

Roberto Delucca  
Luis Remez

## Secretaría

Silvia Francesia  
Graciela Mastrogiacomo

# Departamento de Radiobiología, CNEA

Dra. Lucía Policastro



← Bianca